(TC)Pet Radioterapia: metodiche a confronto nella realta' dell'Azienda

Utilizzo della PET in Oncologica

Dott. Daniela Prosperi

27 Novembre-11 Dicembre 2004

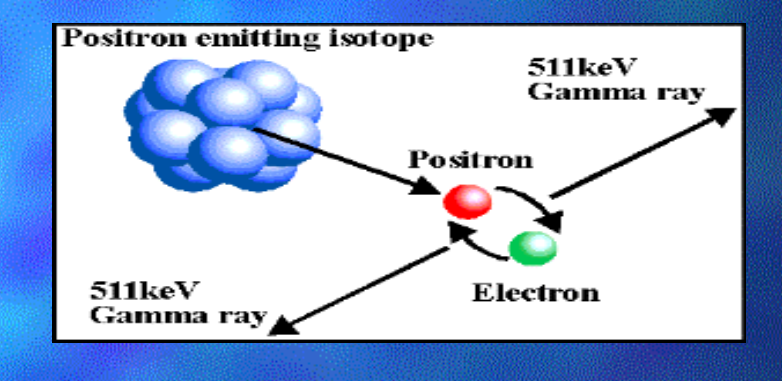
Positron Emission Tomography (PET)

Indagine medico-nucleare che utilizza molecole biologiche (zuccheri, aminoacidi, ormoni, ecc.) marcate con atomi emettitori positronici (β+)

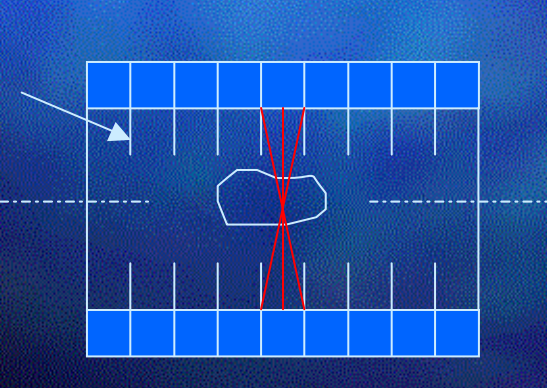
Caratteristiche fisiche dei β+ emettitori

Isotopo	T _{1/2} (min)	Emissione
¹⁸ F	109.80	β+ (96.9%)
11C	20.38	β+ (99.8%)
¹⁵ O	2.03	β+ (99.8%)
13 N	9.96	β+ (100%)

MODALITA' DI ACQUISIZIONE IN PET

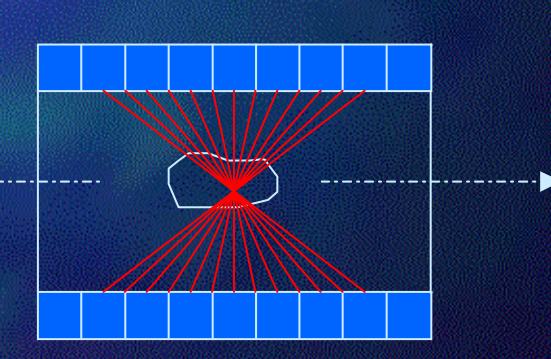


SETTI DI PIOMBO



2D

3D



C-PET



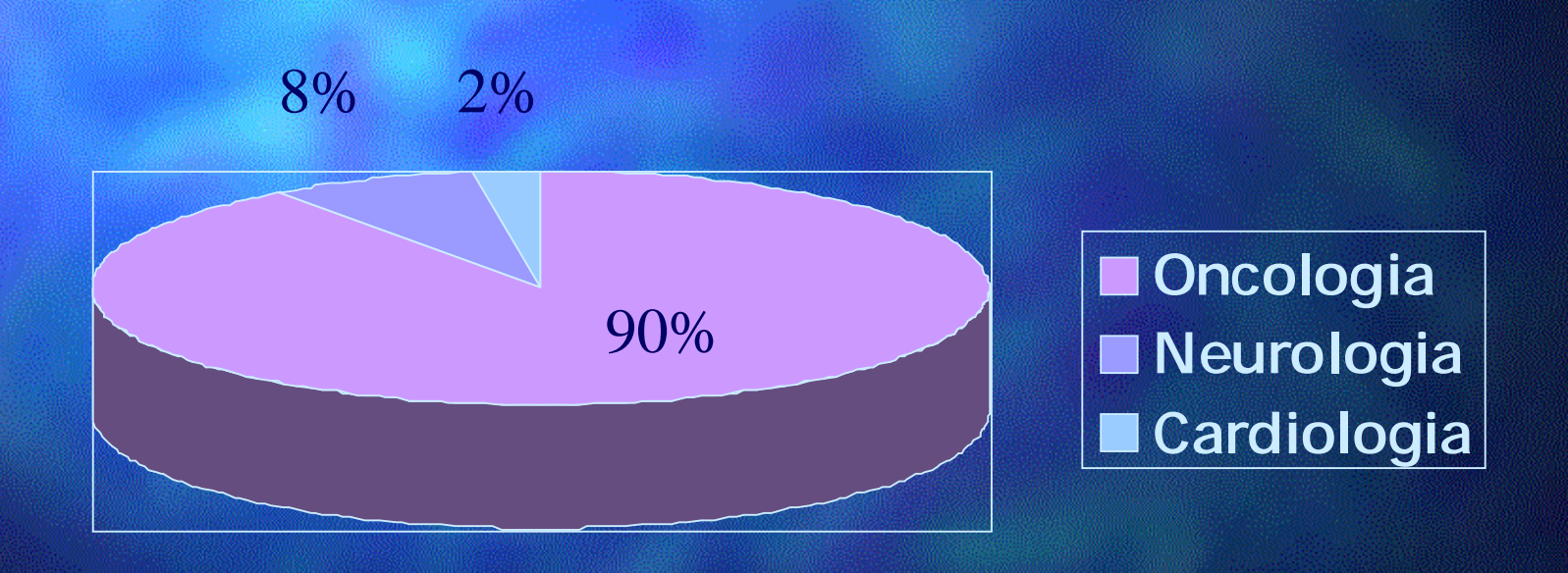
Installazione: Settembre 200

PET

La PET

- valuta gli aspetti fisiologici e biochimici piuttosto che quelli anatomici
- offre una prospettiva diversa della malattia (caratterizzazione biologica) ponendo le premesse per una diagnosi
 - più precoce
 - più precisa

PET Applicazioni cliniche



Patologia oncologica

In Italia

- 270.000 nuovi casi/anno
- 150.000 morti/anno

Nel Mondo

6 milioni di morti/anno

Nei paesi occidentali, le possibilità che nel corso della vita si sviluppi un tumore sono 1 su 3

Perché la PET in Oncologia?

- Limiti dell' imaging morfologico
- Possibilità di rilevazione total-body
- Caratterizzazione biologica del tumore

Valutazione della biologia tumorale con PET

- Perfusione
- Metabolismo
- •lpossia
- Espressione recettoriale

Valutazione della biologia tumorale con PET Metabolismo

- Metabolismo del glucosio
- Metabolismo delle proteine e degli aminoacidi
- Sintesi del DNA

TRACCIANTI PET IN ONCOLOGIA

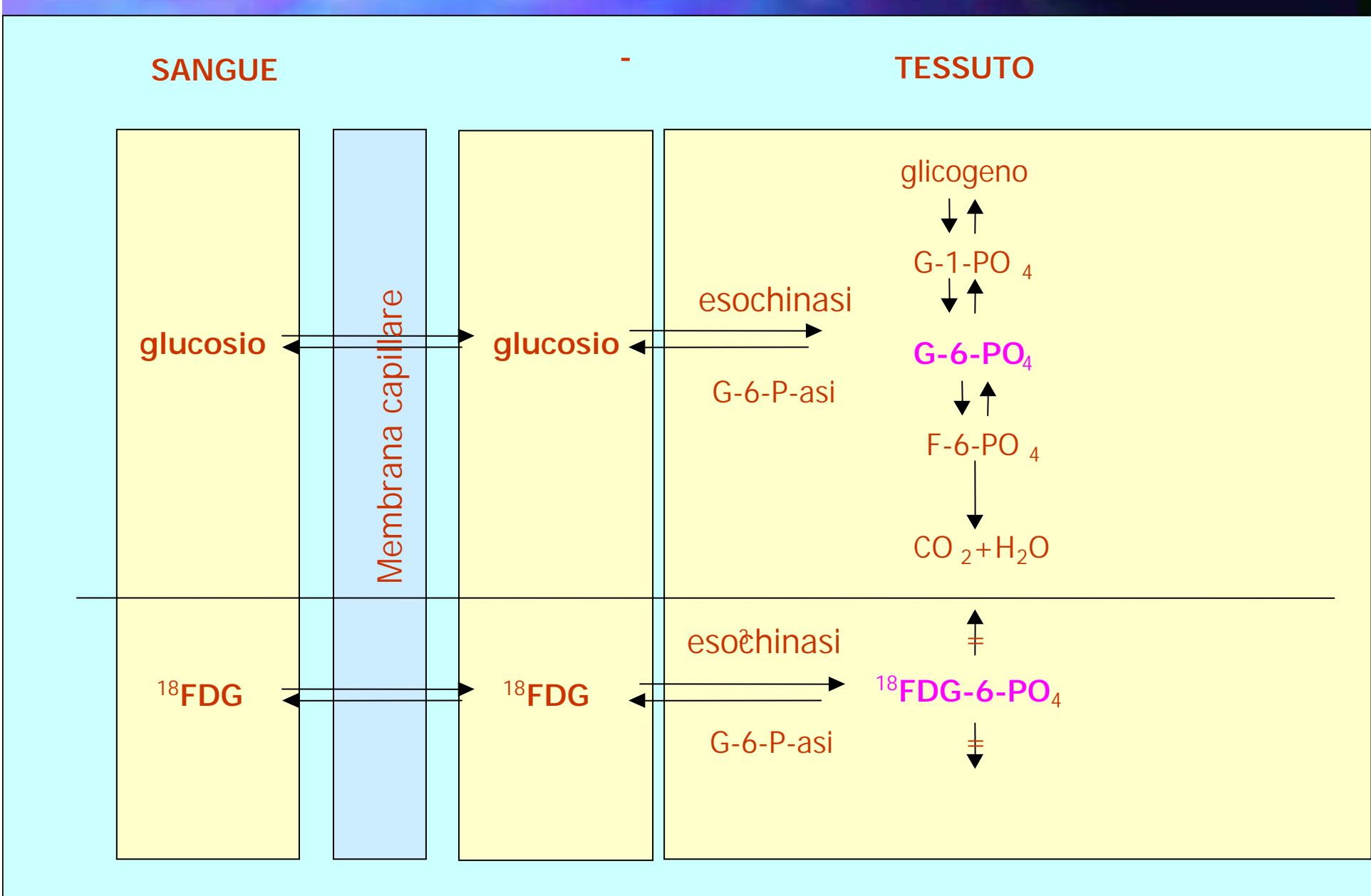
[¹⁸ F] fluoro-2-desossi-D- glucosio	[¹⁸ F]FDG	Metabolismo glucidico
[¹¹ C] Colina	[¹¹ C] COLINA	Membrane cellulari
L-[metil-11C]metionina	[¹¹ C]MET	Sintesi proteica
[¹¹ C]m-idrossi-eferina	[¹¹ C]HED	Recettori adrenergici
16a[18F]fluoro-17b-estradiolo	[¹⁸ F]FES	Recettori
3-N-(2'[18F]fluoroetil)spiperone	[¹⁸ F]FESP	Recettori
[18F] Miso (misonidazolo)	[¹⁸ F] MISO	Indicatore di inossia

Metabolismo del glucosio

¹⁸F-fluoro-2-desossi-D-glucosio

18F-FDG

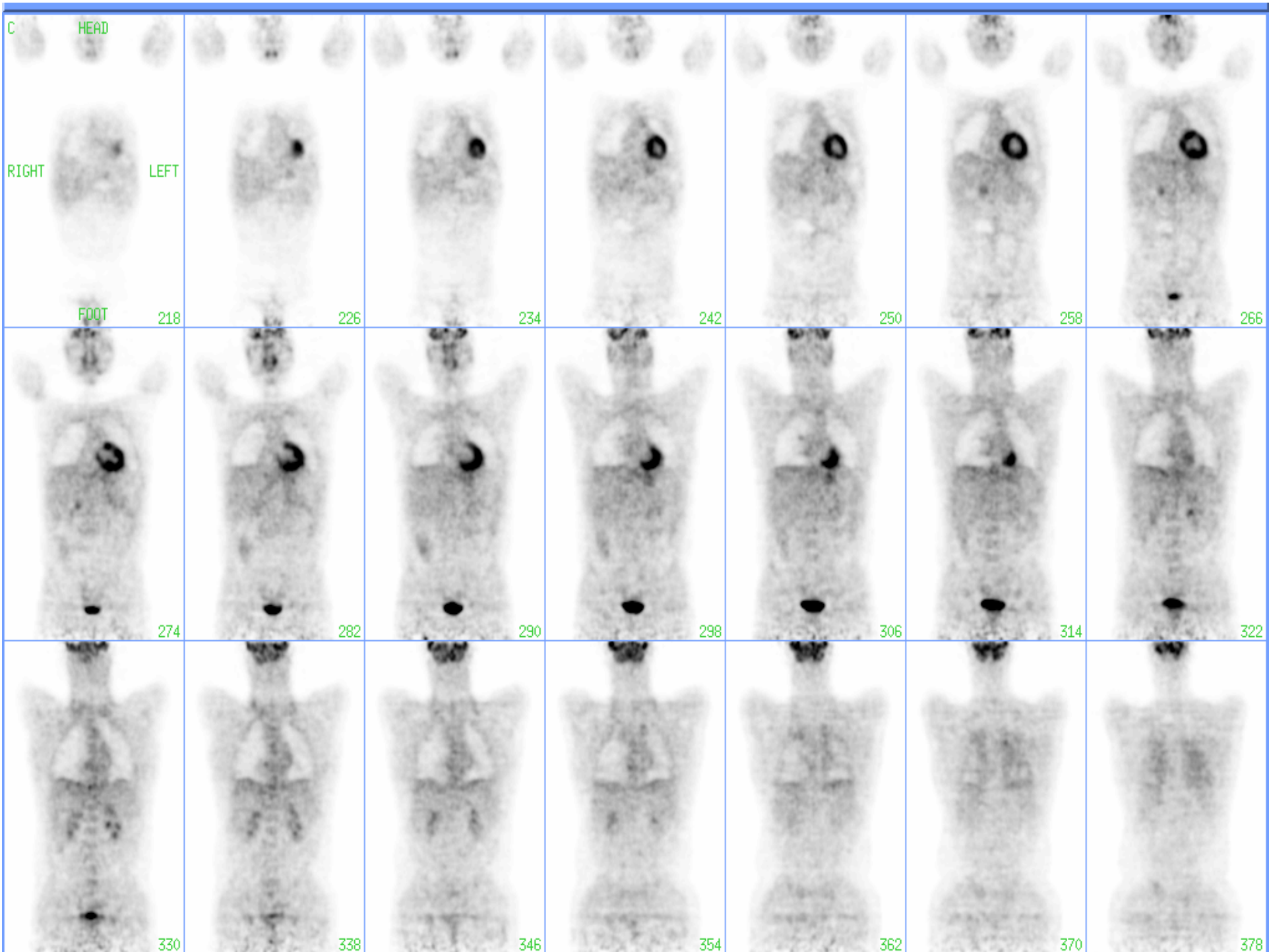
Metabolismo di Glucosio ed FDG nei tessuti sani



FDG-PET Sedi di captazione fisiologica

- Cervello
- Fondo gastrico
- Laringe
- Reni

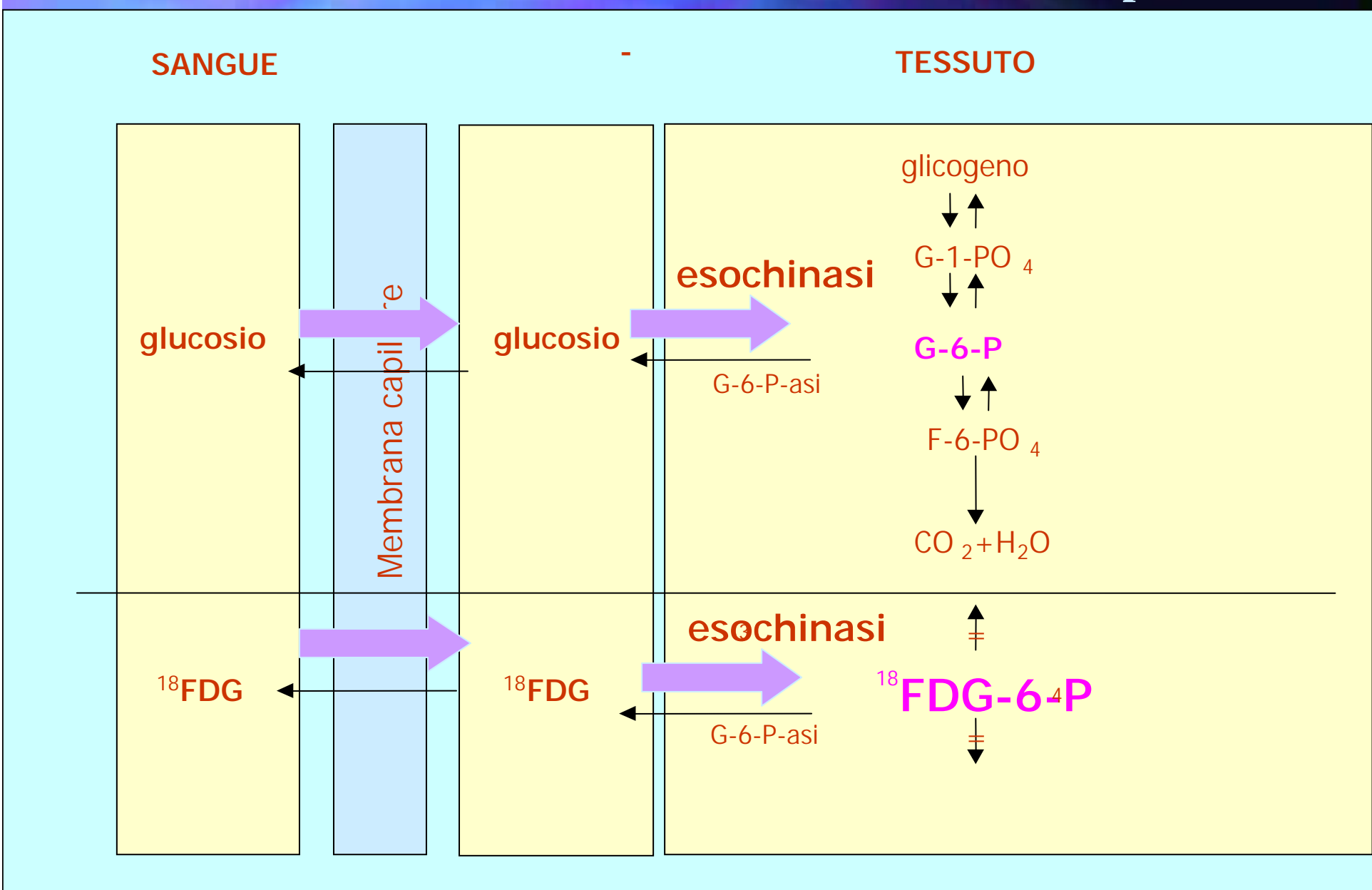
- Cuore
- Intestino
- Muscoli
- Vescica

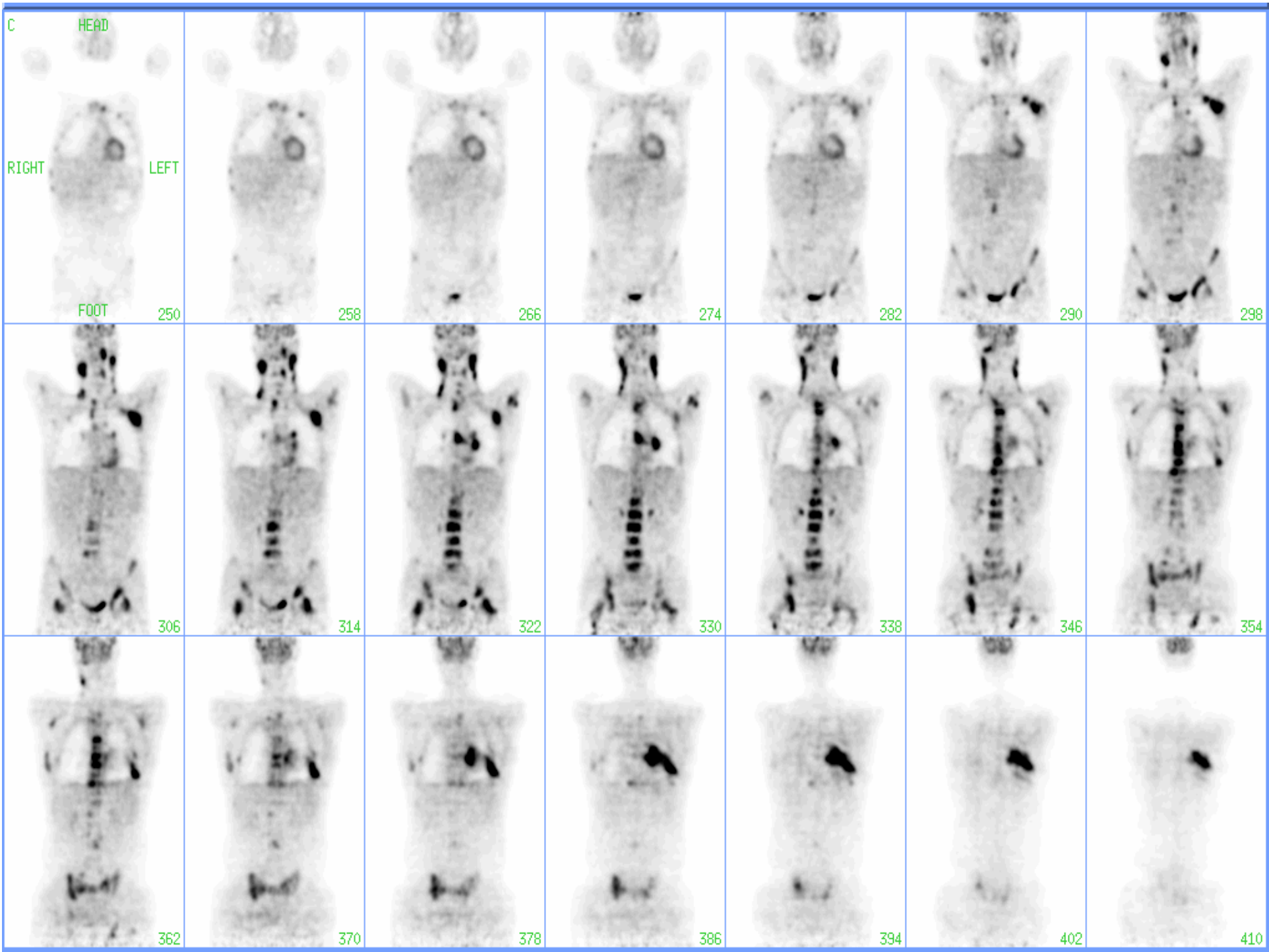


¹⁸F-FDG in Oncologia Perché?

- La trasformazione maligna della maggior parte delle cellule si associa ad un elevato consumo di glucosio
- L'incremento del consumo di glucosio è maggiore nei tumori a rapida crescita e più aggressivi
- La captazione di FDG è legata al numero di cellule vitali

Metabolismo di Glucosio ed FDG nei tessuti neoplastici





Preparazione per indagine ¹⁸F-FDG-PET

Preparazione:

- idratazione
- somministrazione di Diazepam per os (miorilassante)
- digiuno da 4-5 ore (sufficiente)
- digiuno da 12 ore:
 - riduce l'attività cardiaca
 - migliora lo studio del mediastino

Nelle intolleranze glucidiche:

- compenso
- glicemia non > 200 mg/d L (competizione con FDG)

¹⁸F-FDG-PET Metodica

■ Iniezione e.v. :

- dose media 10 mCi-370 MBq per sistemi BGO
- dose media 4.5 mCi-166 MBq per sistemi Nal

Registrazione:

- dopo 30' per il cervello
- dopo 60-90' nelle indagini whole body

Durata esame:

- 40-50' (sistemi BGO)
- 50-60' (sistemi Nal)

¹⁸F-FDG-PET Acquisizione

Acquisizione a step

6-8 lettini, partendo dalla base del cranio fino al bacino.

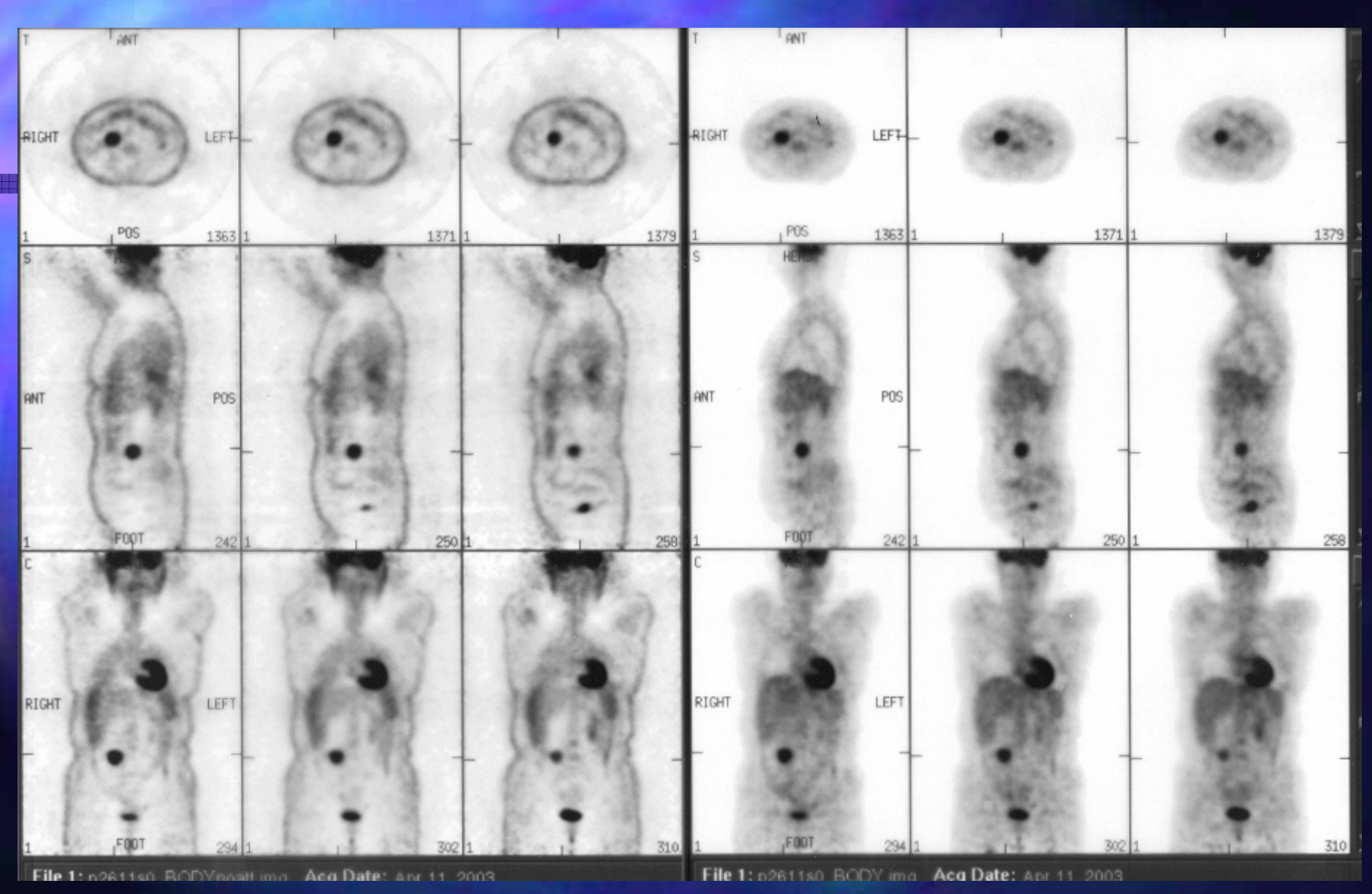
Per 1 lettino (= 15 cm):

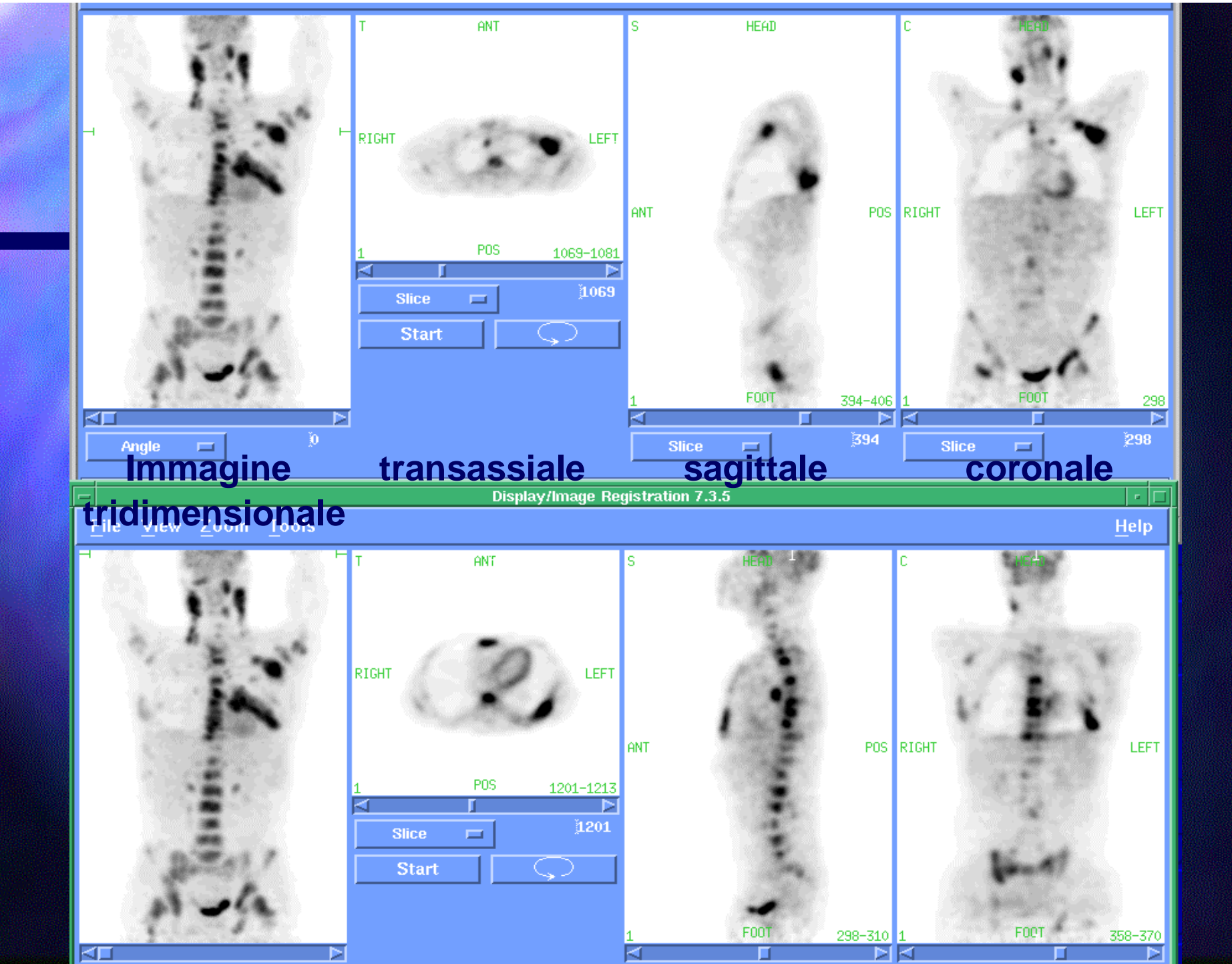
- 5-7' emissiva
- 1-2' trasmissiva

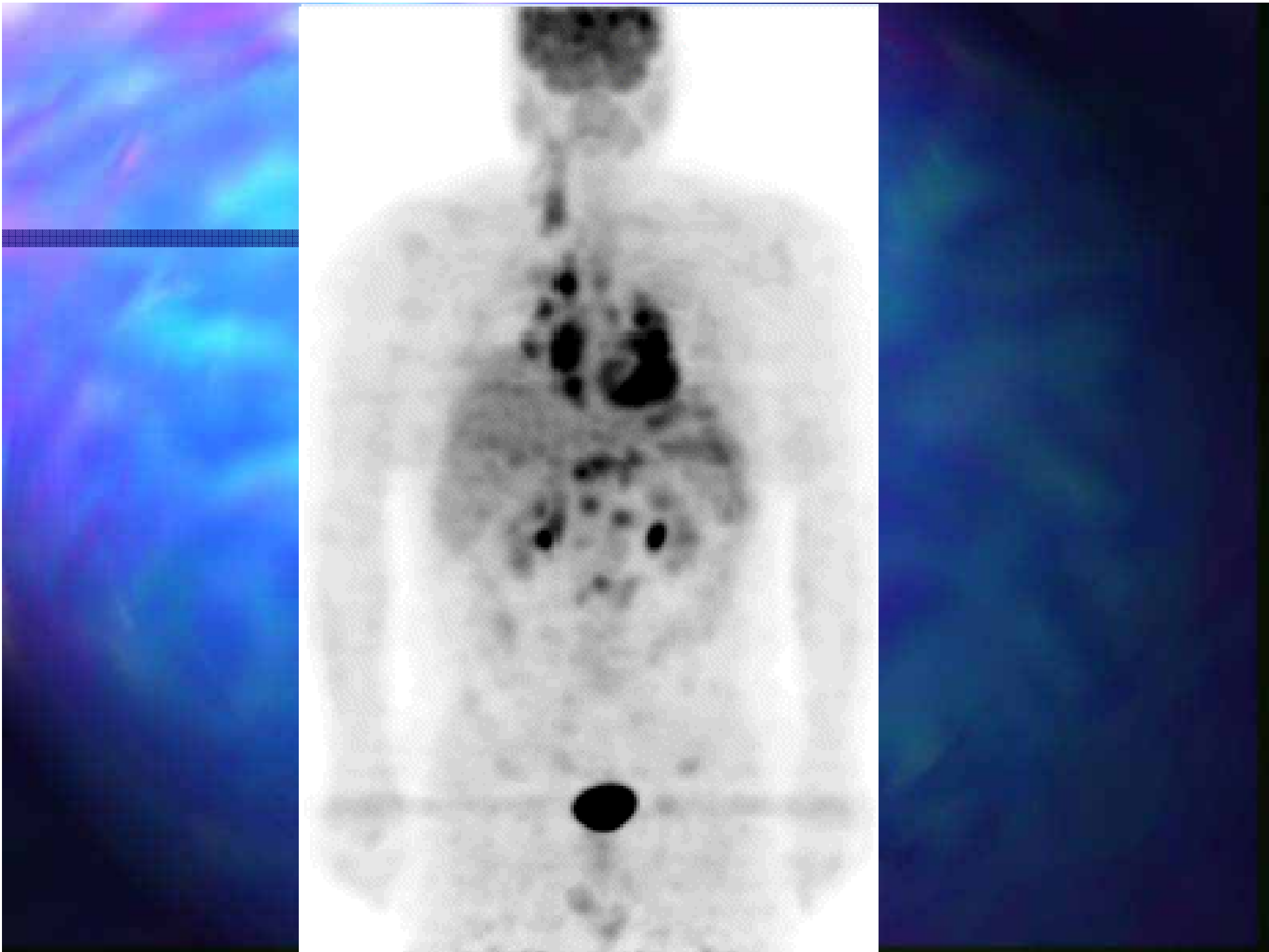
¹⁸F-FDG-PET Elaborazione

- Ricostruzione immagini whole body
 - non corrette
 - corrette per l'attenuazione

- Analisi qualitativa
 - valutazione visiva delle sequenze di immagini 3D







¹⁸F-FDG-PET Elaborazione

Analisi semiquantitativa

Tumore/Non Tumore = T/NT

T/NT= conteggi area tumorale/conteggi area tessuto sano

standardized uptake value = SUV

SUV = Attività ROI X F.C./[Dose iniett./peso corp.]

Analisi semiquantitativa - SUV

Correla con:

- con la velocità di crescita della lesione
- invers. con il grado di differenziazione
- invers. con la prognosi
- Non correla con:
 - dimensioni della lesione

Molto utile nella valutazione della risposta alla terapia

Definizione risposta tumorale con ¹⁸F-FDG

- Malattia progressiva: aumento SUV> 25% e/o aumento dimensione >20% e/o comparsa di nuove lesioni metastatiche
- <u>Malattia stabile</u>: aumento SUV <25% o riduzione SUV non più del 15% e dimensione tumore invariate
- Risposta parziale: riduzione SUV di almeno 15-25% dopo un ciclo e > 25% dopo più cicli. Non necessaria riduzione dimensioni
- Risposta completa: completa risoluzione senza più differenza fra tessuto sano e patologico.

Limiti della FDG-PET

Turnori di piccole dimensioni (< 5 mm)

(scarso numero di cellule)

Tumori a bassa attività metabolica

(carcinomi mucinosi, carcinomi bronchiolo-alveolari, tumori neuroendocrini)

- Captazione in patologie non maligne
 - lesioni infiammatorie (soprattutto granulomatose, comeTBC e sarcoidosi)
 - neoplasie benigne (tumori salivari misti, adenomi villosi, adenomi surrenalici)

Limiti della FDG-PET

Scarsa captazione

Carcinoma prostatico

Epatocarcinoma

PET e ¹⁸F-FDG nell'epatocarcinoma

Costante di defosforilazione (K4) elevata nell'epatocarcinoma

Non accumulo di FDG nel 50%--70% dei casi

PET in Oncologia Indicazioni generali

Diagnosi differenziale fra lesioni benigne e maligne

Stadiazione e diagnosi di recidiva per decidere il trattamento

Monitoraggio della risposta alla terapia

PET in Oncologia Principali indicazioni

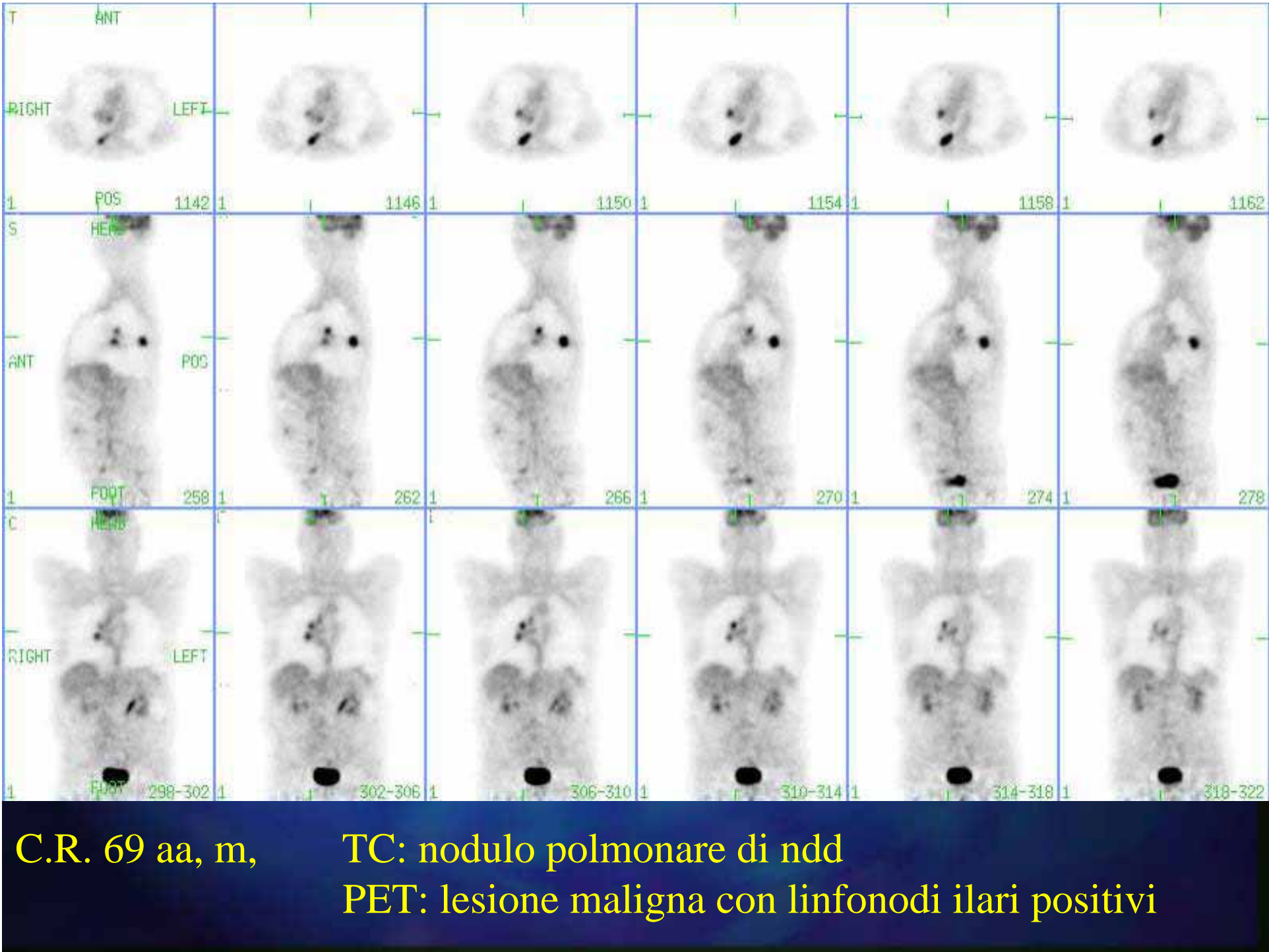
- Carcinoma polmonare "non a piccole cellule"
- Linfomi
- Melanoma
- Carcinoma dell'esofago
- Carcinoma colon-retto
- Carcinoma della mammella
- Tumori del capo-collo

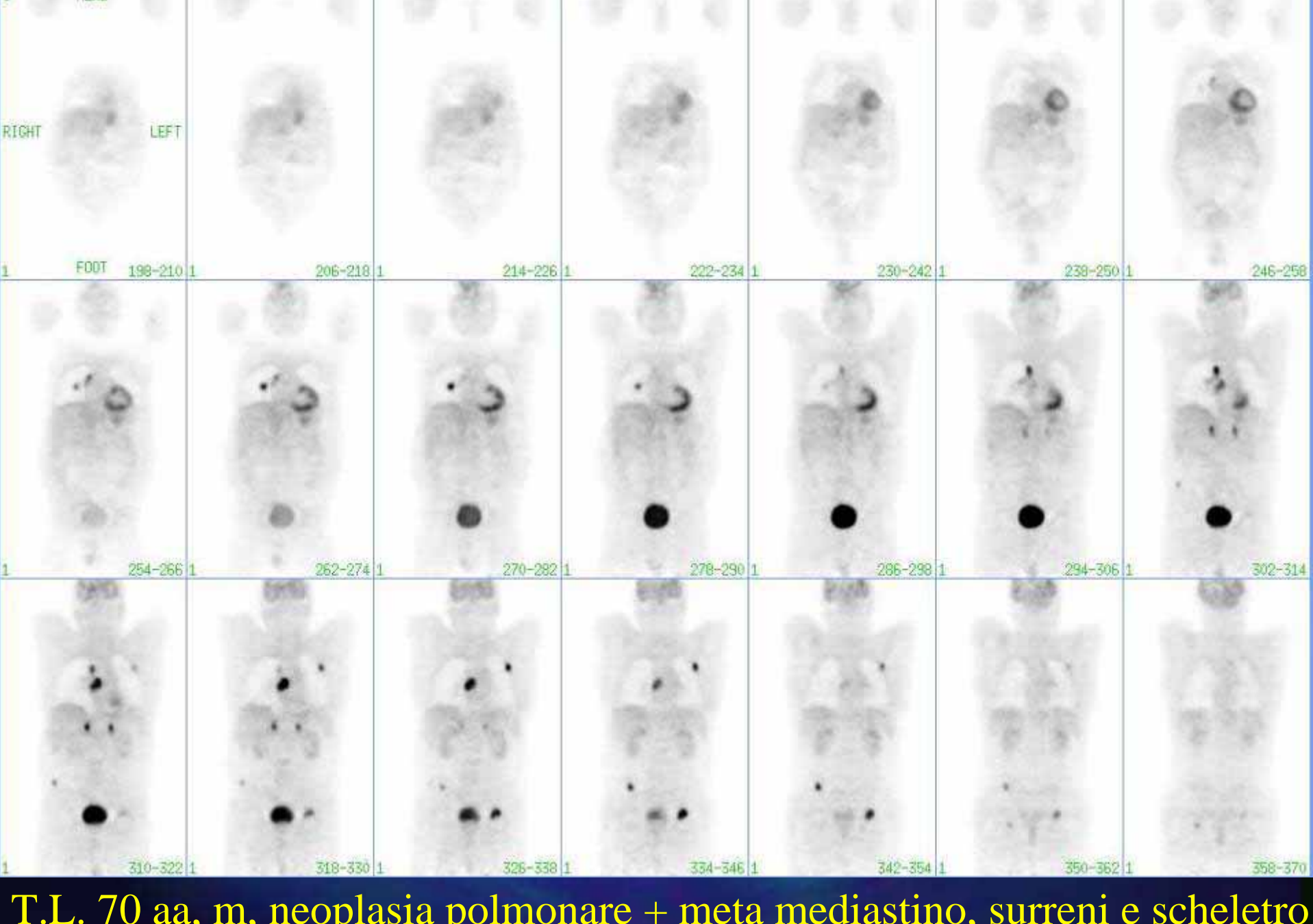
18F-FDG PET nella valutazione del nodulo polmonare unico

■Individuazione del nodulo maligno

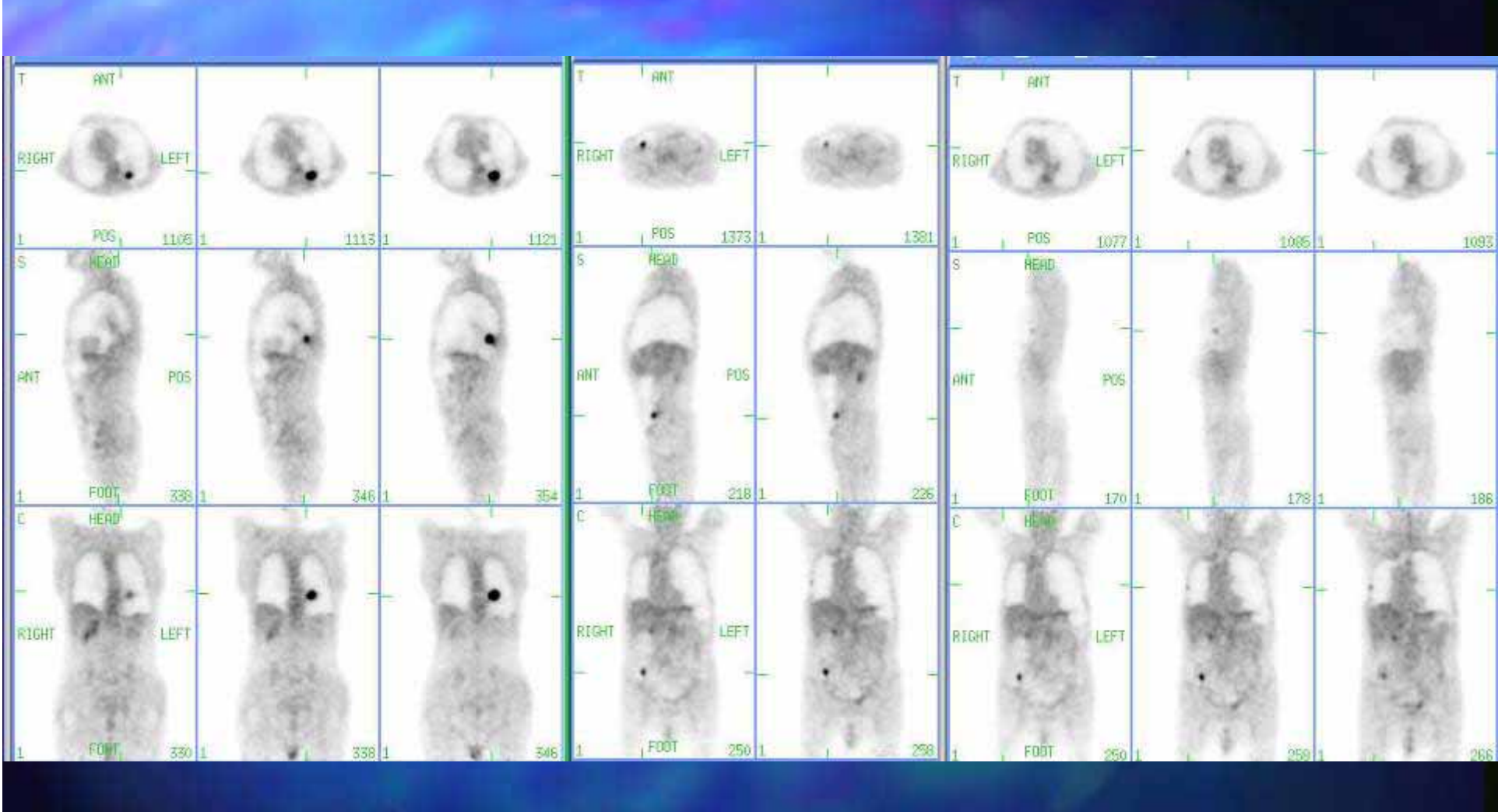
VPP in pazienti > 60 anni = 90%

- Stadiazione
- N (linfonodi regionali)
- M (metastasi a distanza)





T.L. 70 aa, m, neoplasia polmonare + meta mediastino, surreni e scheletro



V.L.72 aa, m, recidiva di Ca polm + meta addome

Carcinoma polmonare "non a piccole cellule"

La FDG-PET:

- rileva metastasi a distanza non note nell'11% dei casi
- modifica lo stadio (N o M) nel 34-40% dei pazienti

 modifica la strategia terapeutica (operabilità) nel 25-37% dei pazienti

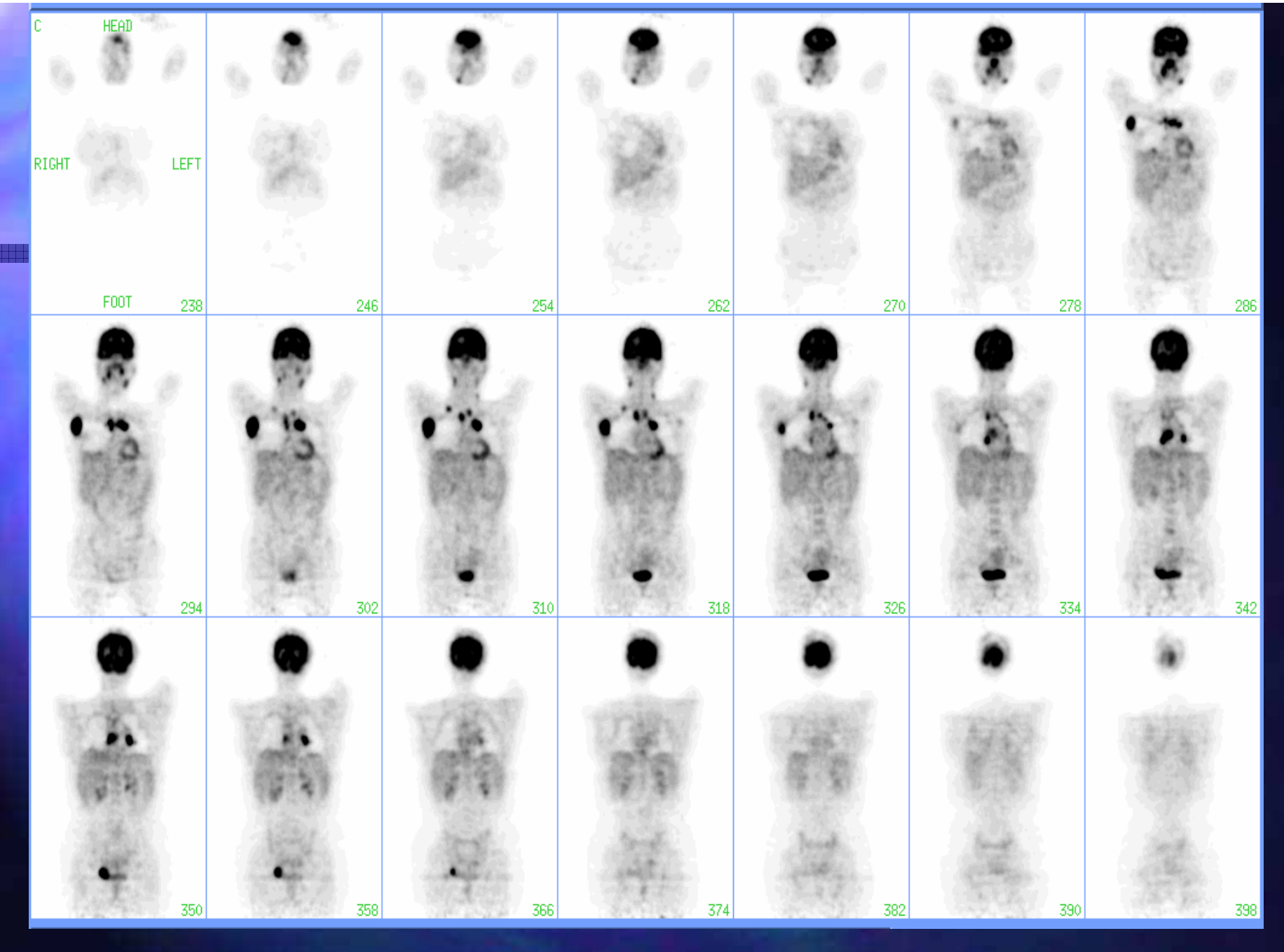
PET e Linfomi

Hodgkin

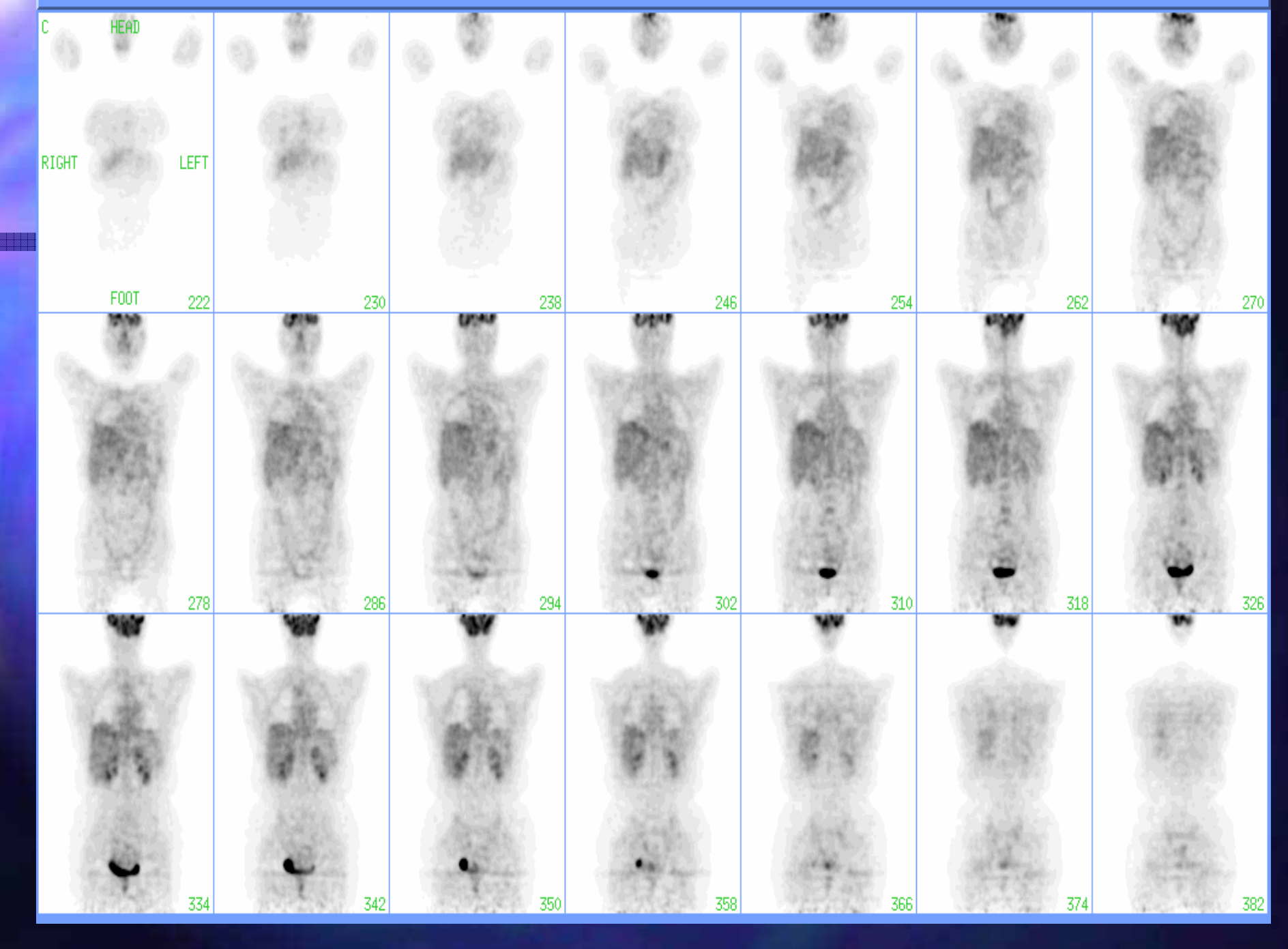
Non Hodgkin

PET nei Linfomi

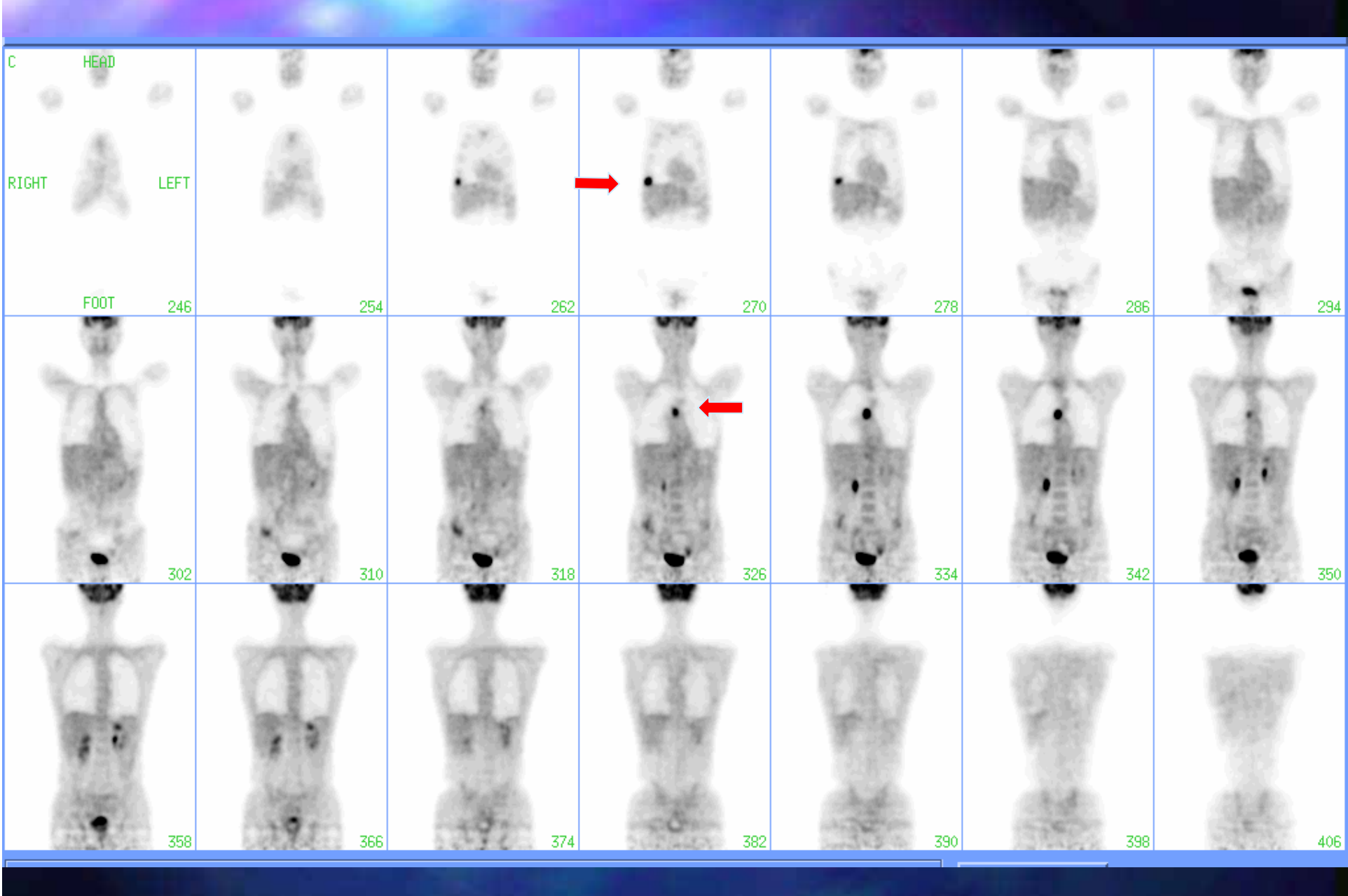
- Stadiazione iniziale
 - estensione di malattia
 - management del paziente
- Risposta alla terapia
 - durante la terapia
 - al termine della terapia
- Ripresa di malattia



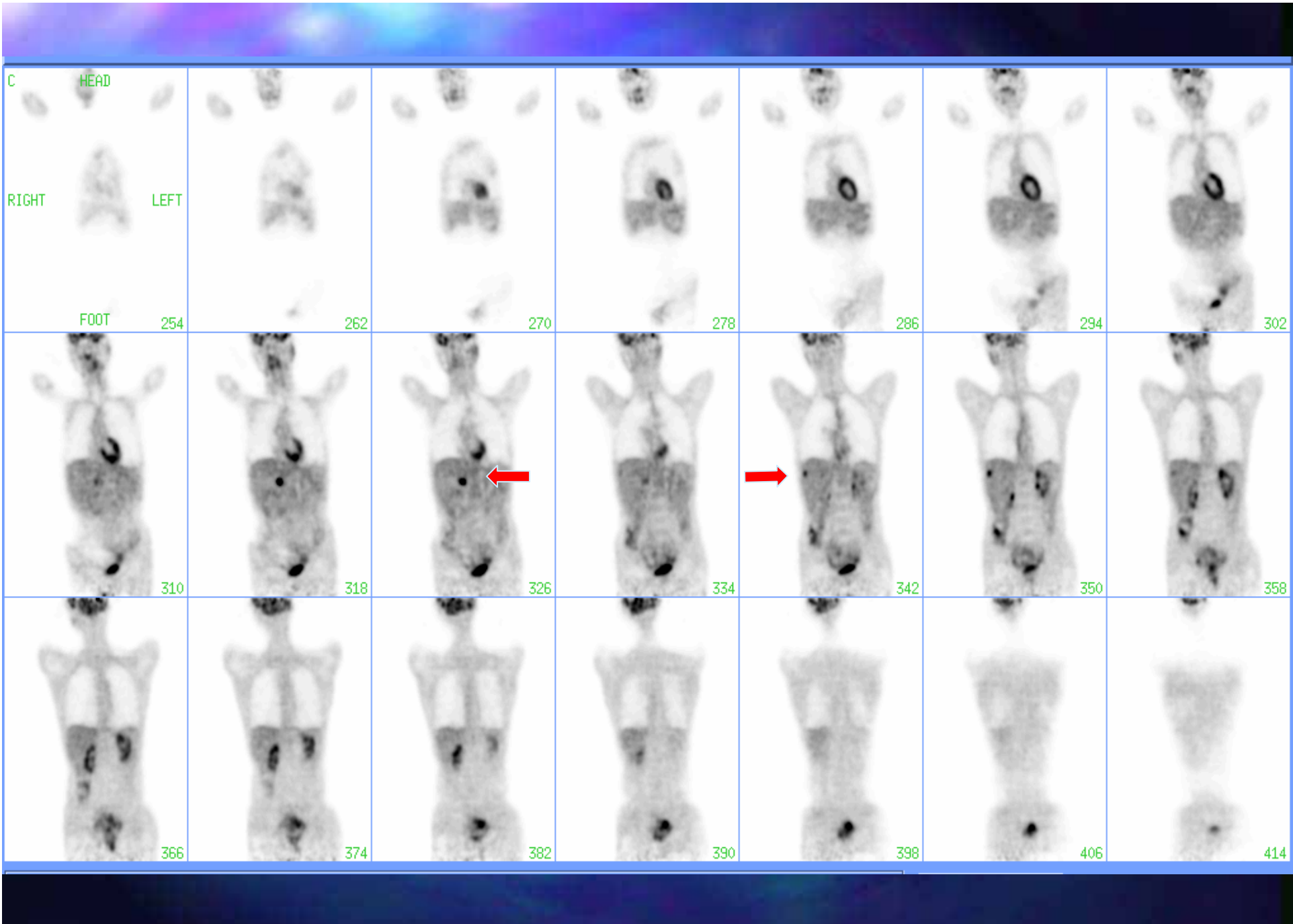
B.G., 34 a. - Linfoma di H.: preterapia



B.G., 34 a. - Linfoma di H.: post-terapia



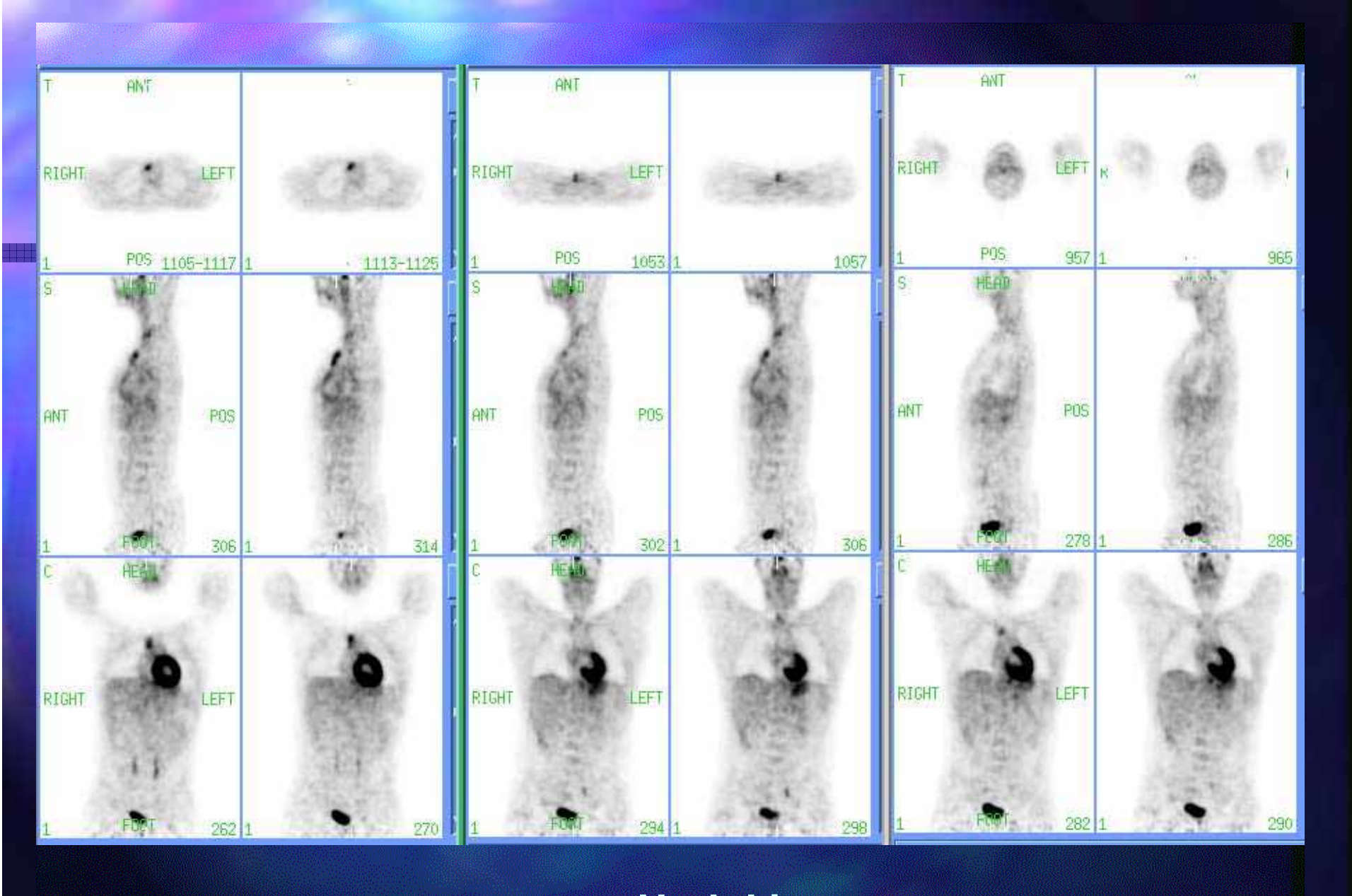
V.P, 28 a. - Linfoma non-H.: preterapia



V.P, 28 a. - Linfoma non-H.: post-terapia



P.A. 43 aa, f, CT dubbia, PET remissione completa

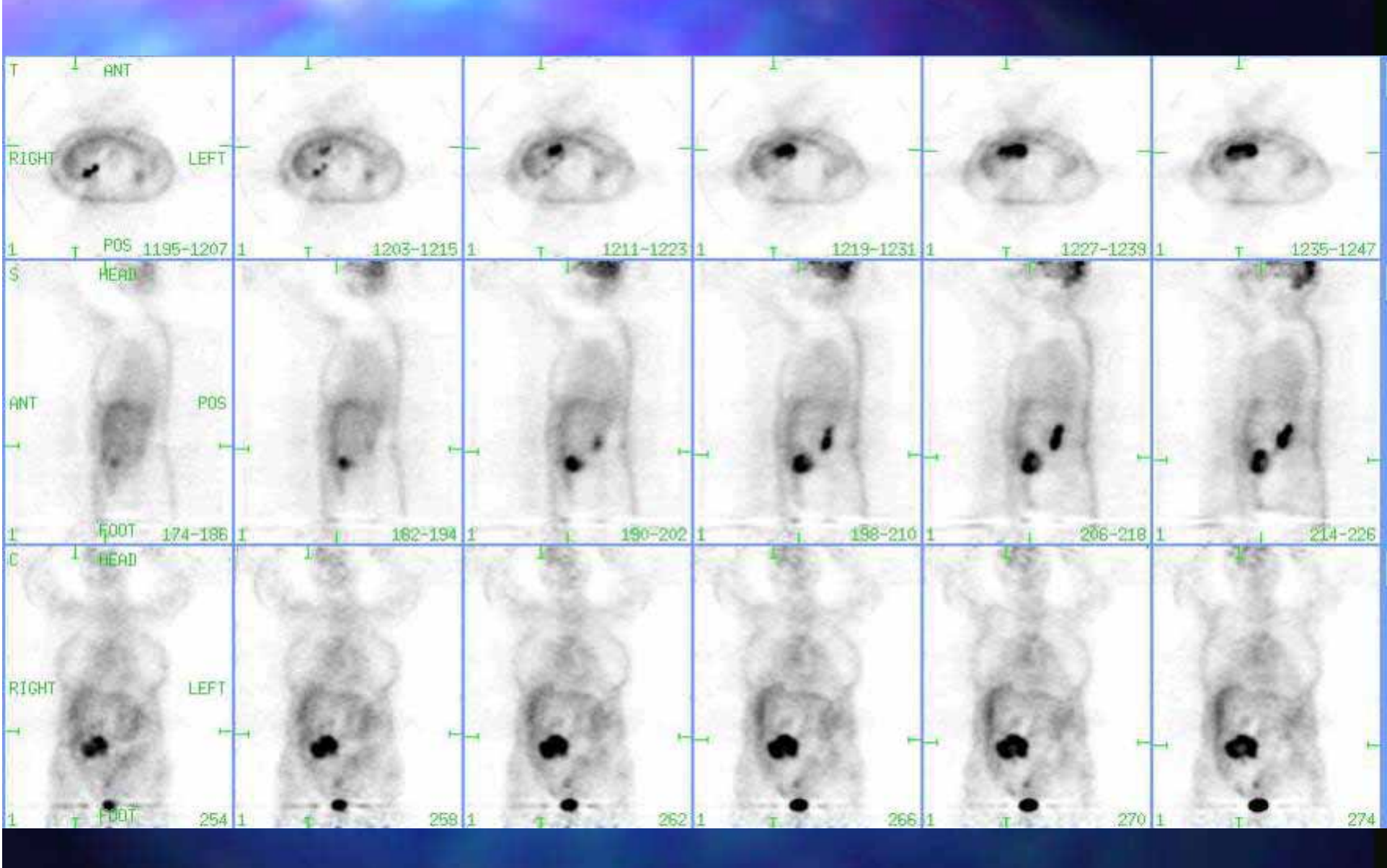


B.F. 18 a. m Linfoma di Hodgkin

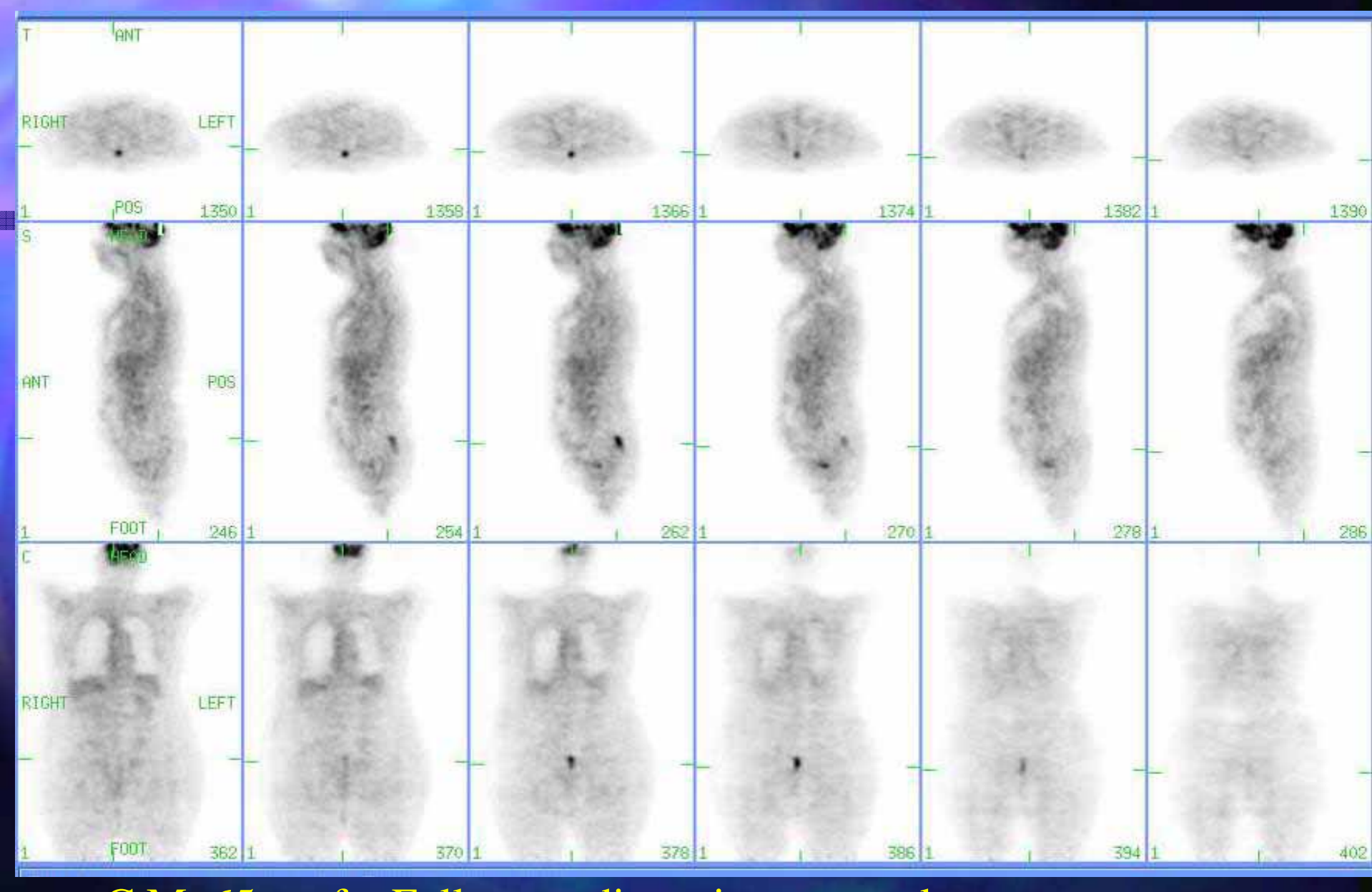
Dopo chemioterapia - CT: neg PET: persistenza di malattia mediastinica

Carcinoma del colon retto

- La FDG-PET è più sensibile e più specifica di TC e RM nella valutazione di pazienti sospetti per recidiva locale o metastasi
- positività del CEA
- reperti dubbi all'imaging tradizionale (recidiva? Esiti chirurgici e/o radioterapici?)
- selezione dei pazienti da sottoporre a resezione curativa

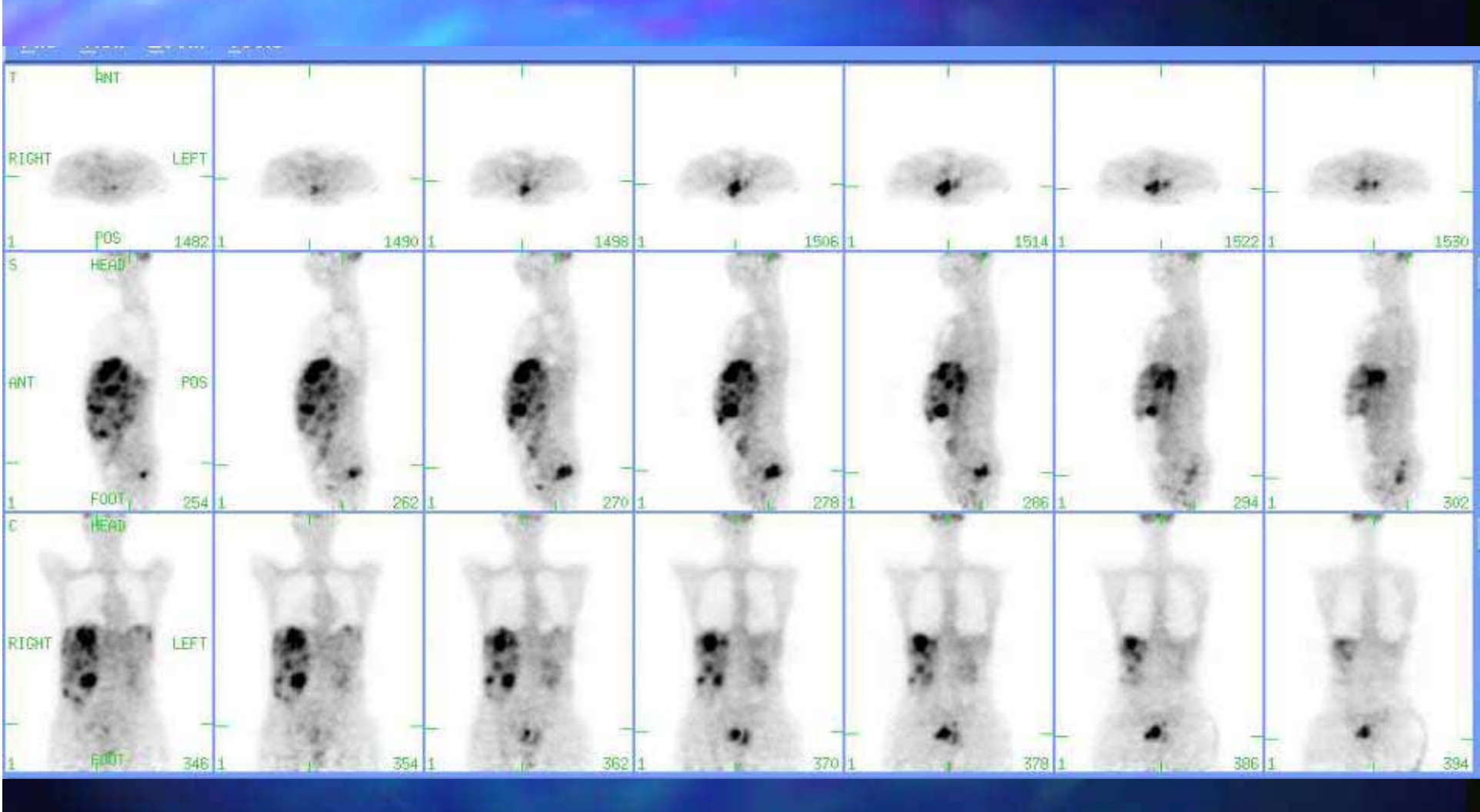


C.G. 68 aa, f, adenocarcinoma colon

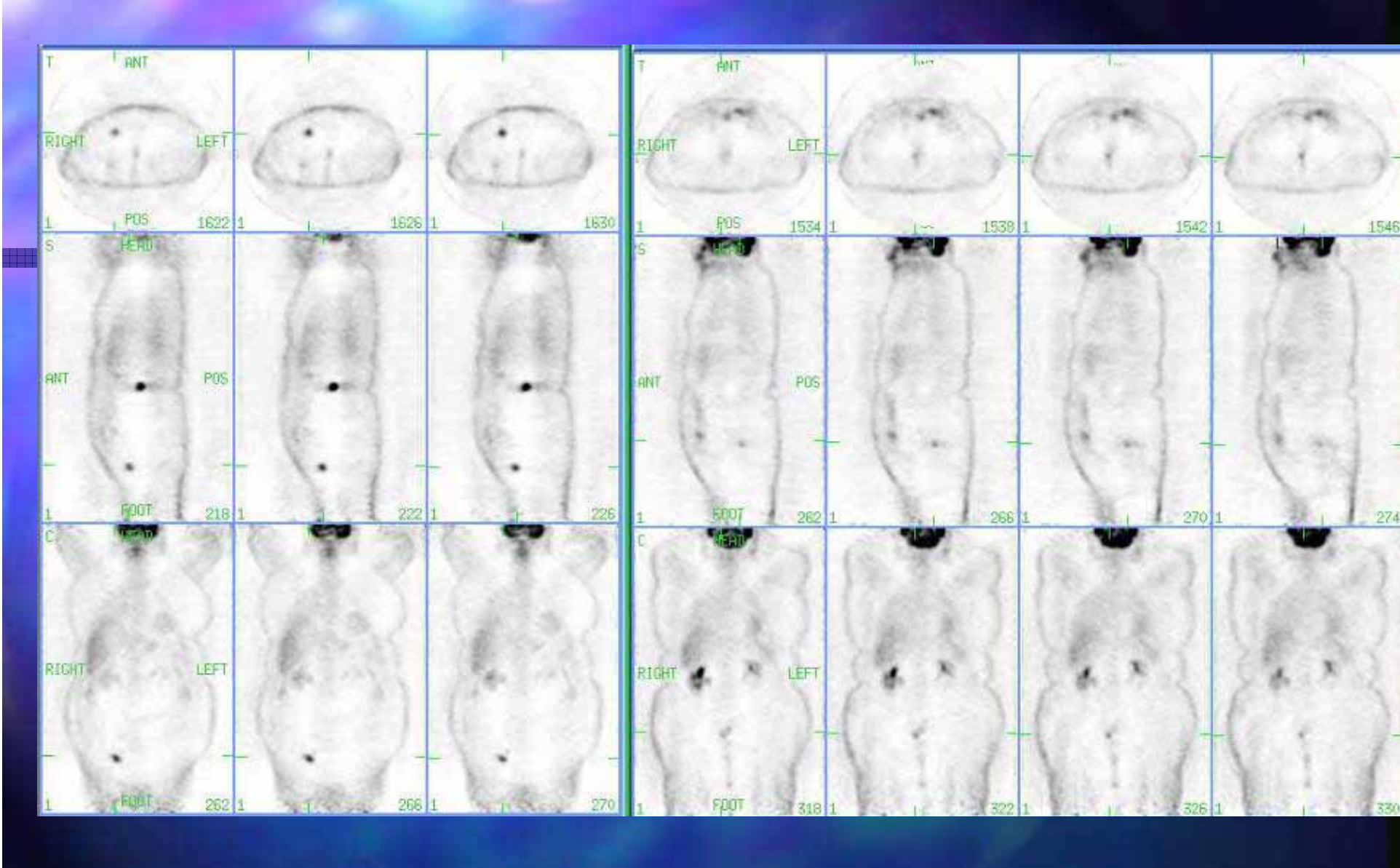


C.M. 65 aa, f Follow up di carcinoma rettale TC: formazione presacrale (fibrosi?recidiva?)

PET: recidiva



M.R. 46 aa, f, recidiva l.r. e metastasi epatiche

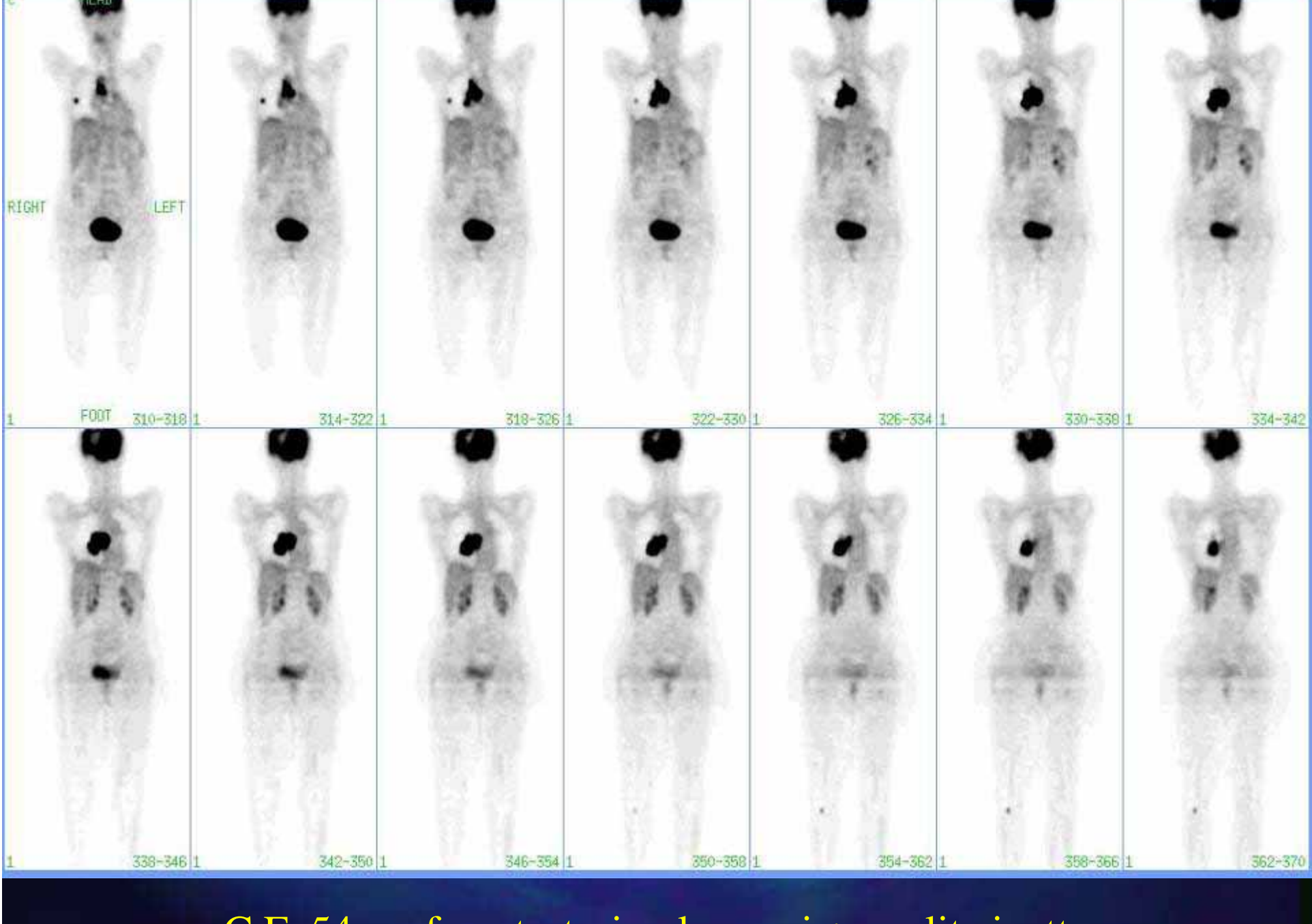


Z.V. 73 aa, f, ↑ CEA da metastasi emiscavo pelvico destro

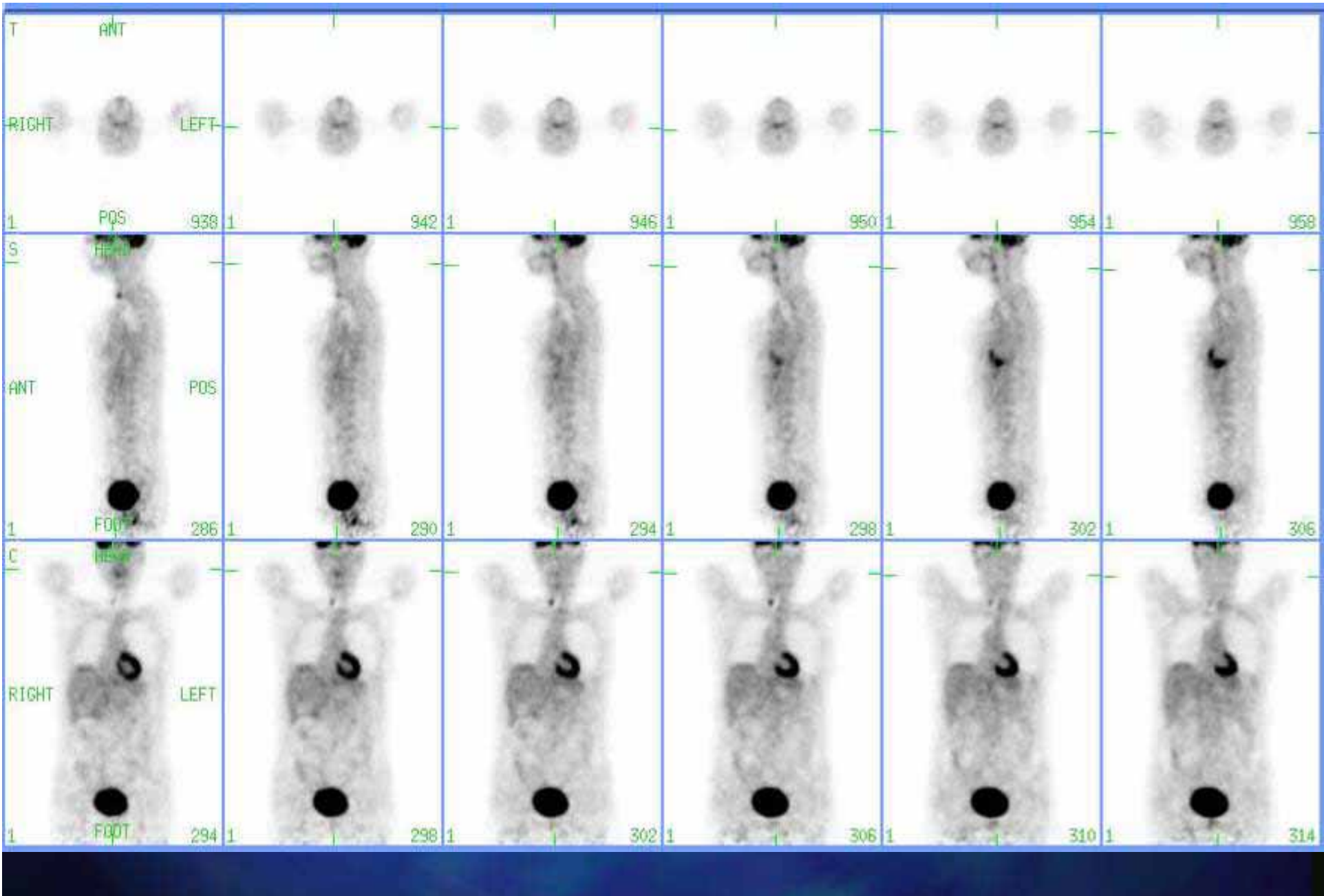
18F-FDG PET nel Melanoma

Indicazioni

- In Stadiazione, se linfonodo sentinella +
 - per definire estensione
- Risposta alla terapia
- Ripresa di malattia

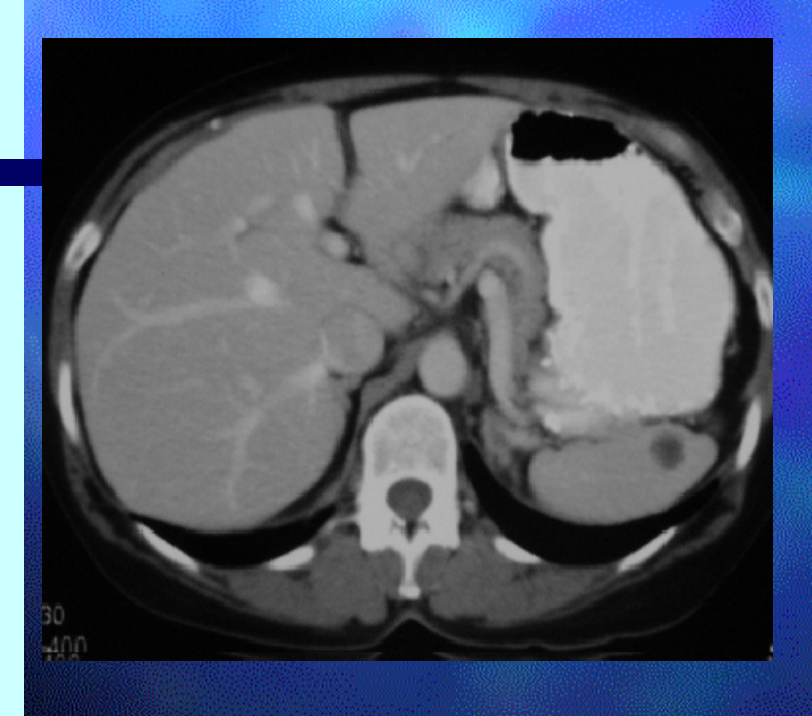


C.F. 54 aa, f, metastasi polmonari + poplite inatteso



B.A. 57 aa, f, metastasi latero cervicali

Melanoma: Metastasi unica



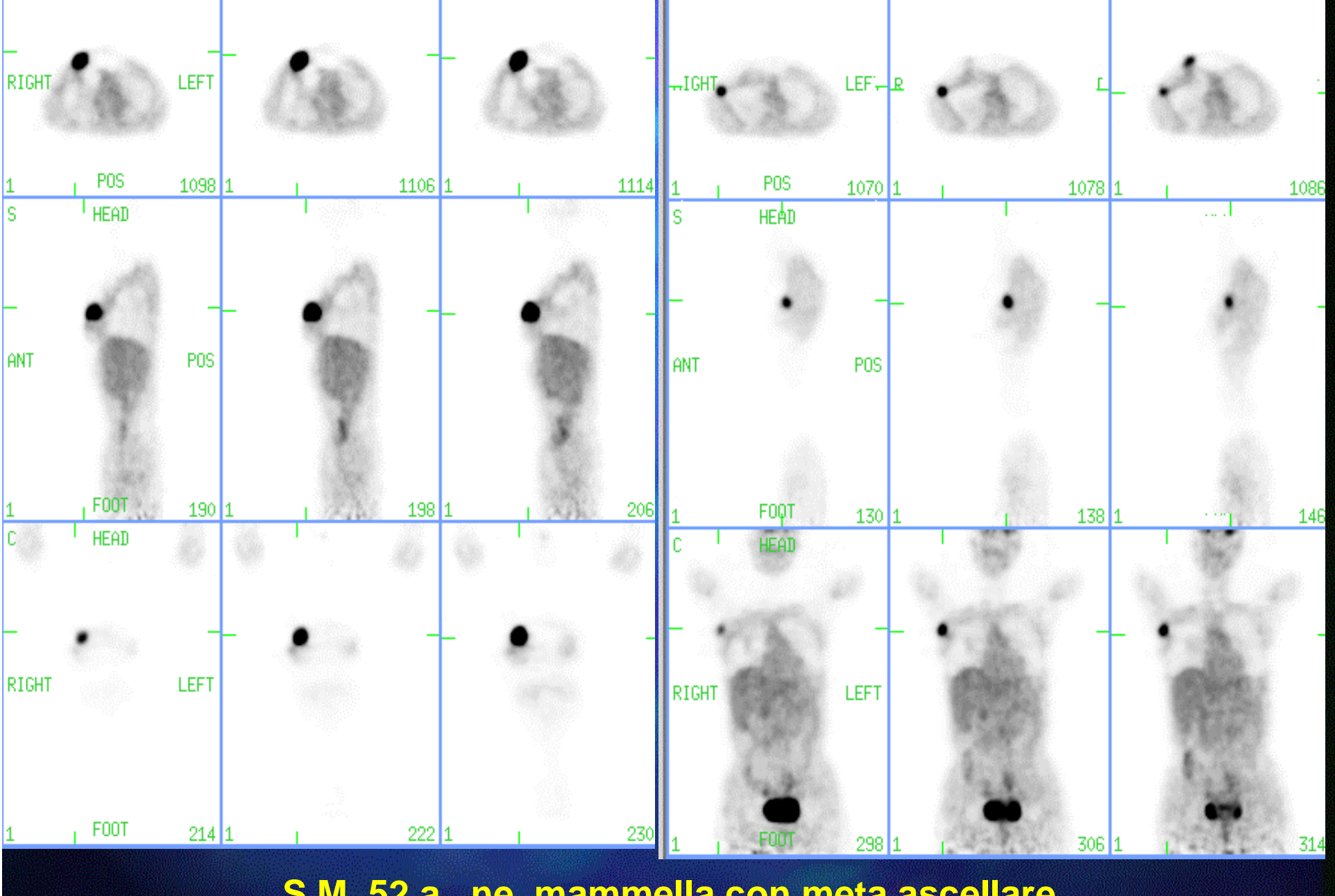


CT

FDG-PET

¹⁸F-FDG PET nelle neoplasie mammarie

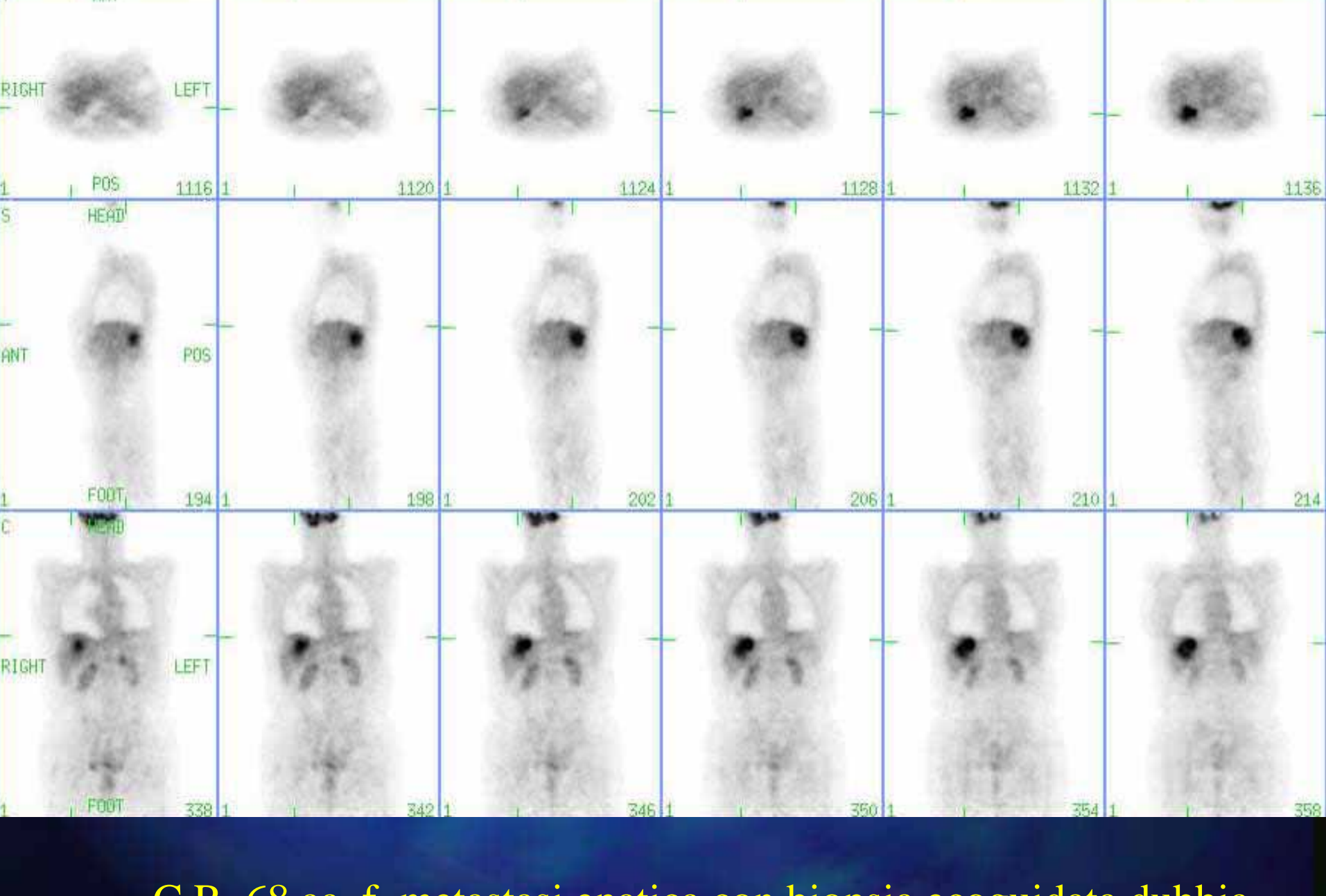
- Definizione di natura
- Stadiazione N (ascellare e mammarie int.)
- Individuazione di
 - ripresa di malattia
 - metastasi
- Risposta alla terapia



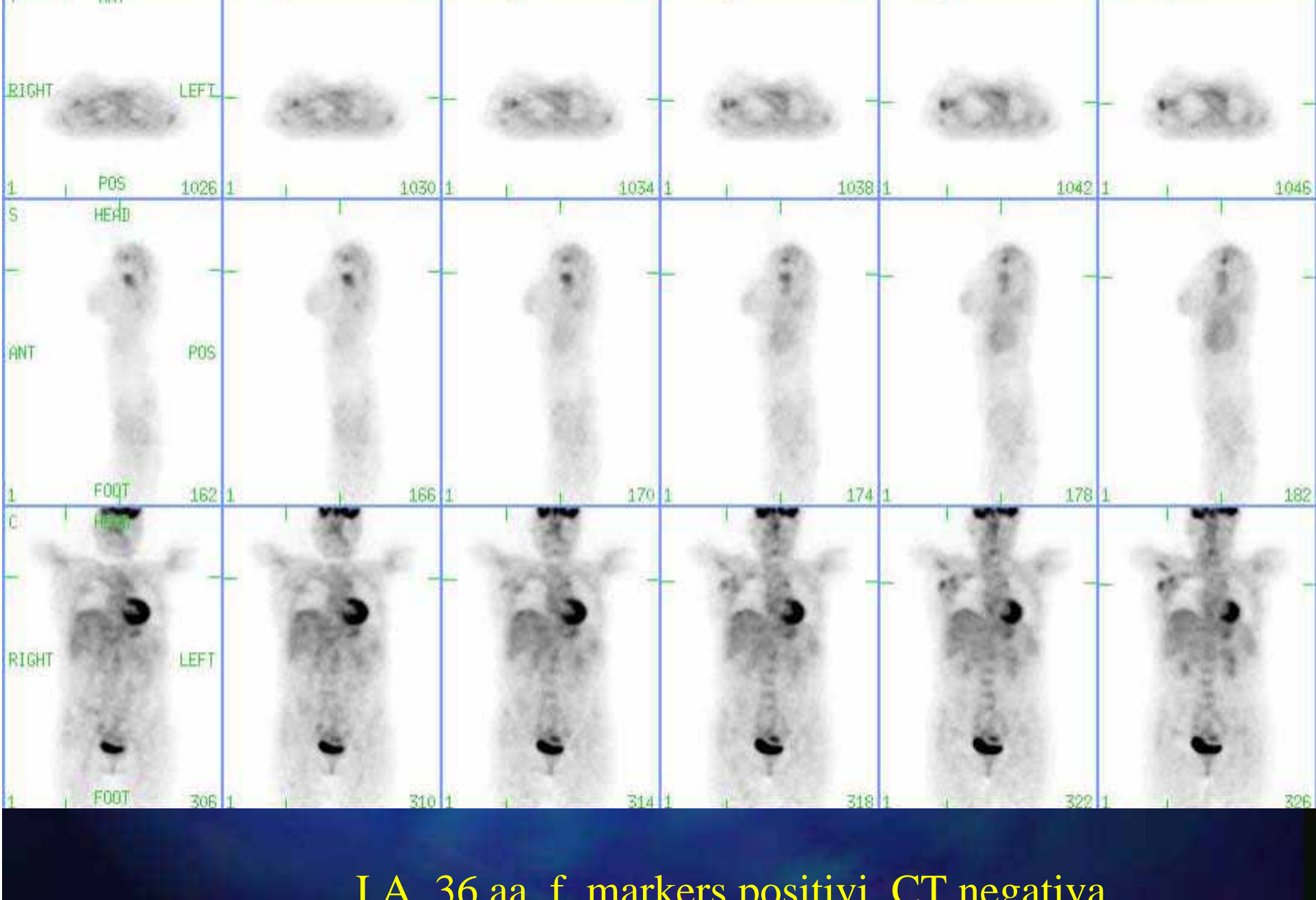
ANT

ANT

S.M. 52 a. ne. mammella con meta ascellare



C.R. 68 aa, f, metastasi epatica con biopsia ecoguidata dubbia

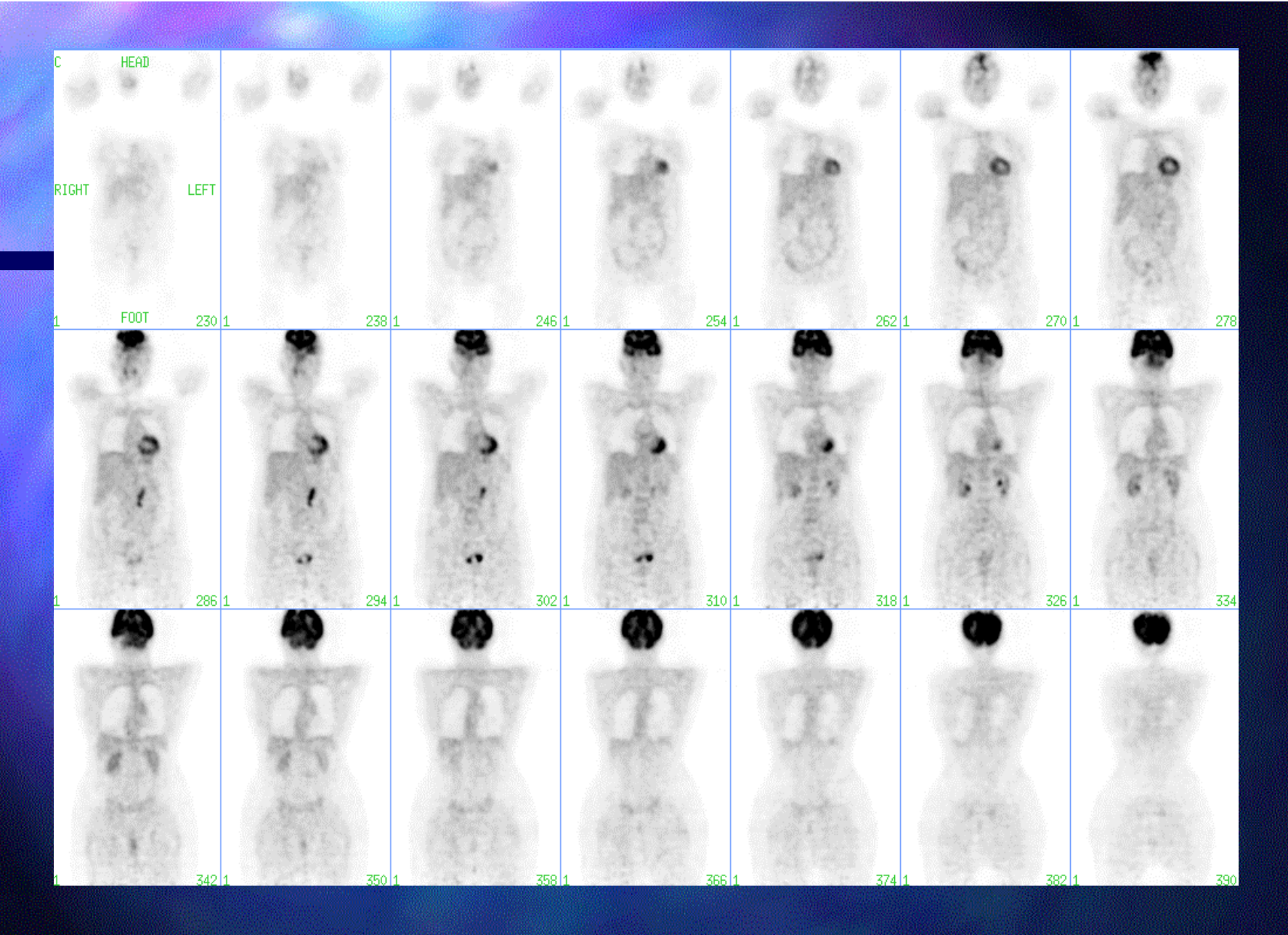


I.A. 36 aa, f, markers positivi, CT negativa

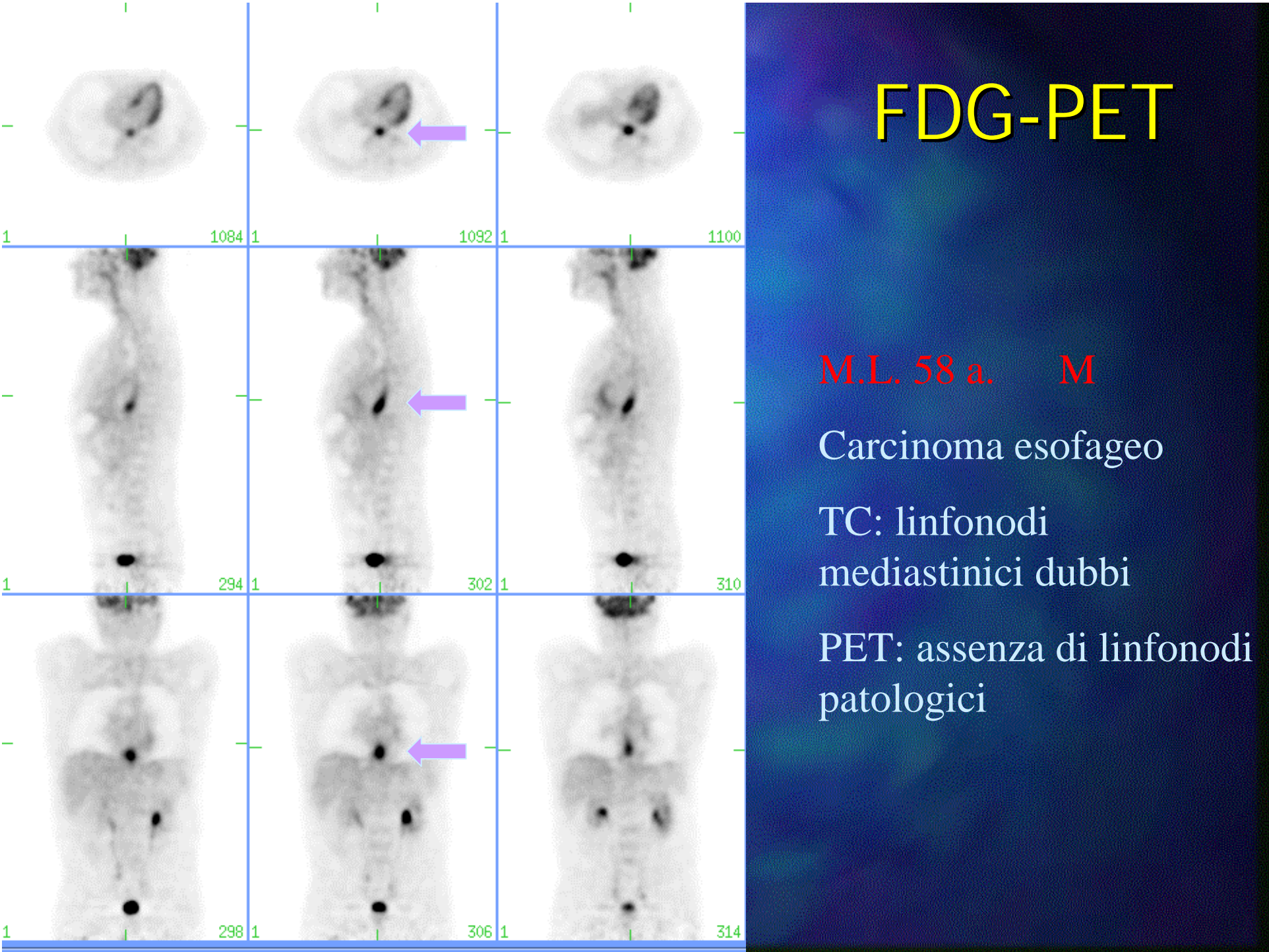
Altre neoplasie

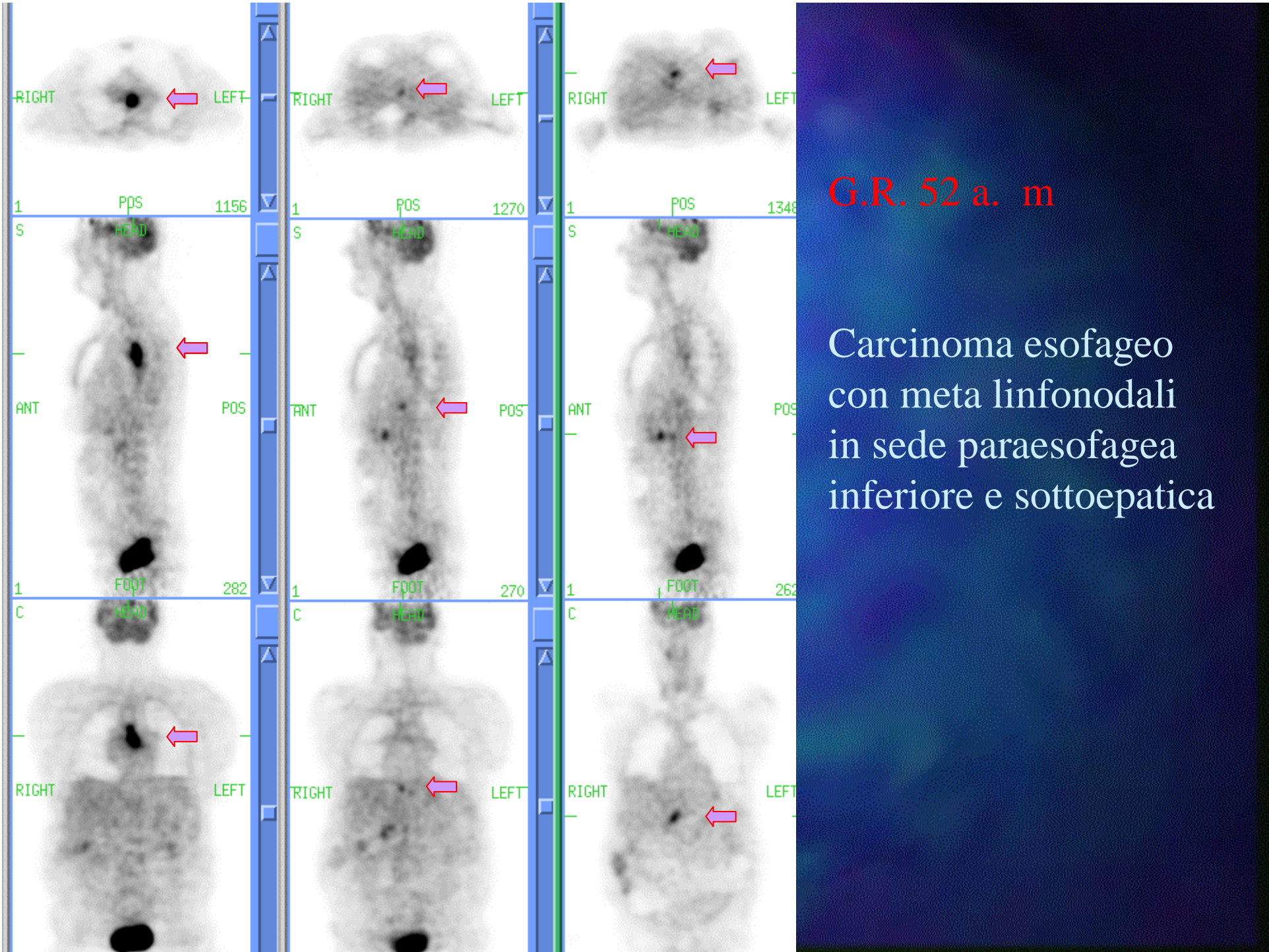
- ORL
 - ricerca primitivo in presenza di metastasi
- Esofago
- Ovaio
- Tiroide differenziata
 - se TG ↑ e WB con ¹³¹I negativo

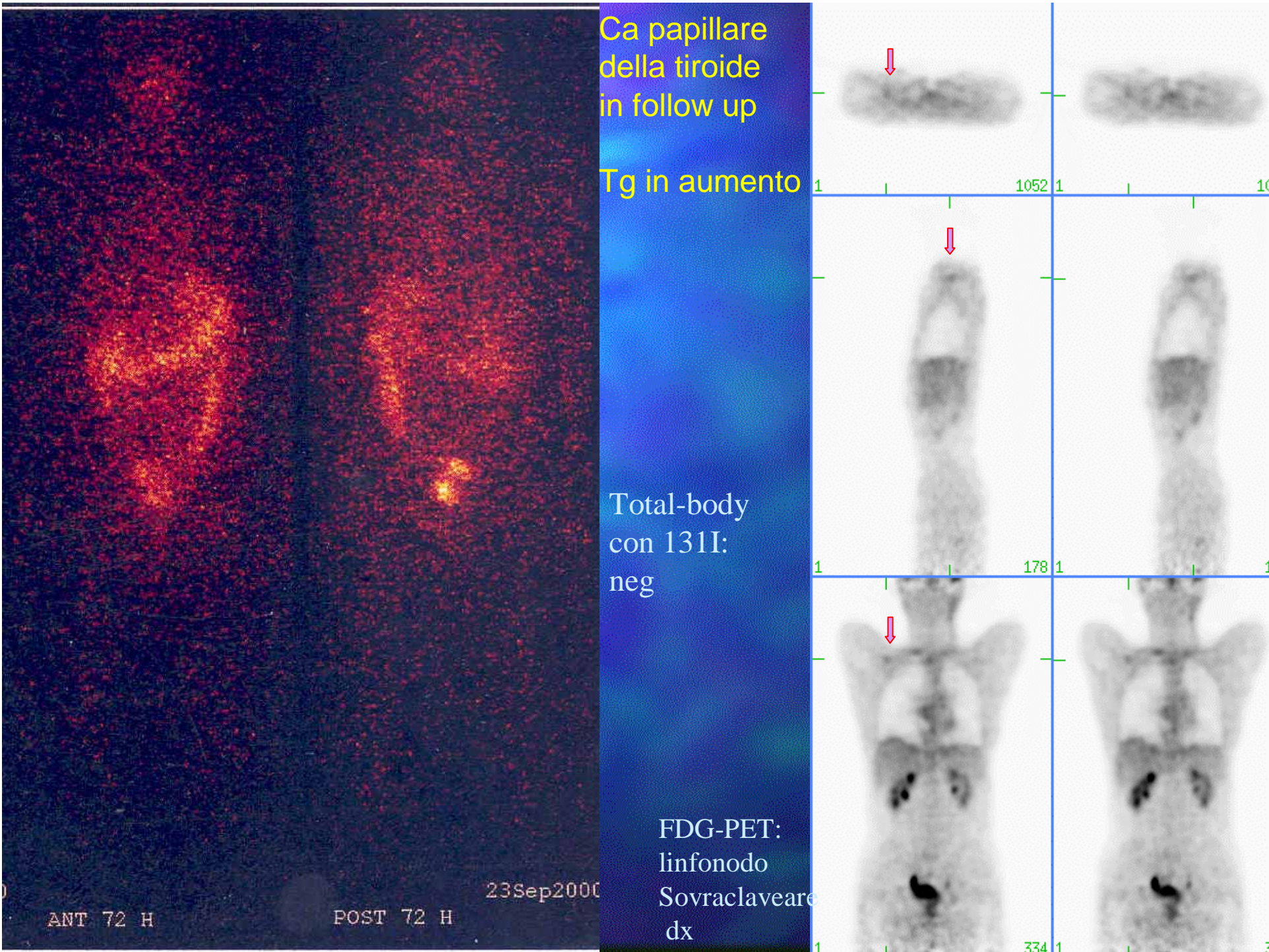
Nel 30% circa dei casi la PET risolve il quesito diagnostico



G.S. 56 aa Carcinoma dell'ovaio - Sospetta recidiva (markers pos) TC neg PET: meta linfonodi paraortici







Dosimetria

Dosi assorbite modeste in relazione a:

- emivita breve
- tipo di radiazioni
- quantità somministrate

Analisi costo-beneficio

- L'introduzione di una nuova metodica nella routine quotidiana richiede una accurata analisi costo-beneficio, cioè un confronto fra:
- Benefici per il paziente (guarigione, intervallo libero da malattia, qualità di vita, sopravvivenza)
- Vantaggi economici per il Sistema Sanitario Nazionale

Analisi costo-beneficio

- Riduzione delle procedure diagnostiche invasive
- Più corretta stadiazione clinica e quindi più corretta impostazione terapeutica
 - riduzione degli interventi chirurgici inutili in pazienti con neoplasie diffuse
 - possibilità di recupero ad interventi chirurgici curativi di pazienti giudicati inoperabili con le metodiche tradizionali
- Possibilità di prevedere precocemente la risposta alla terapia

PET in Oncologia

Revisione della letteratura dal 1993 a giugno 2000 su 419 articoli ed abstracts

Gambhir SS J Nucl Med 2001

Sensibilità: 84%

(18.402 pazienti)

Specificità: 88%

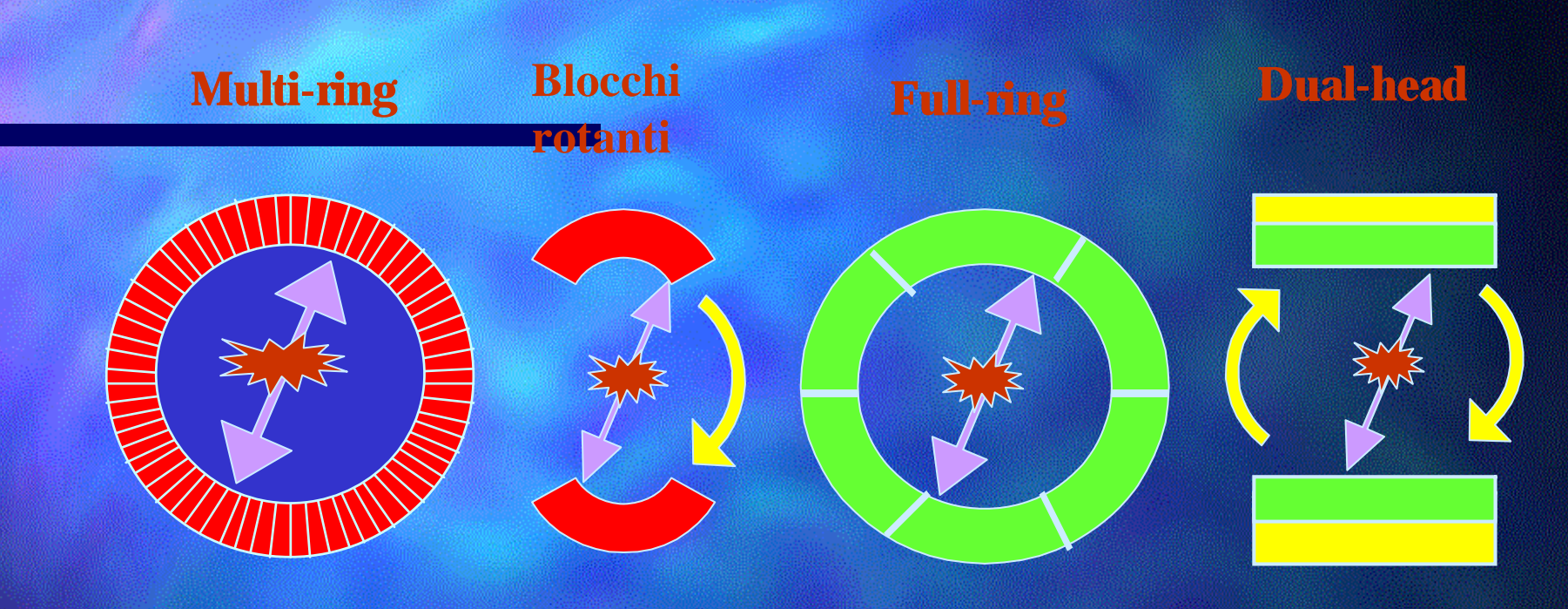
(14.264 pazienti):

Modificazione della strategia terapeutica: 30%

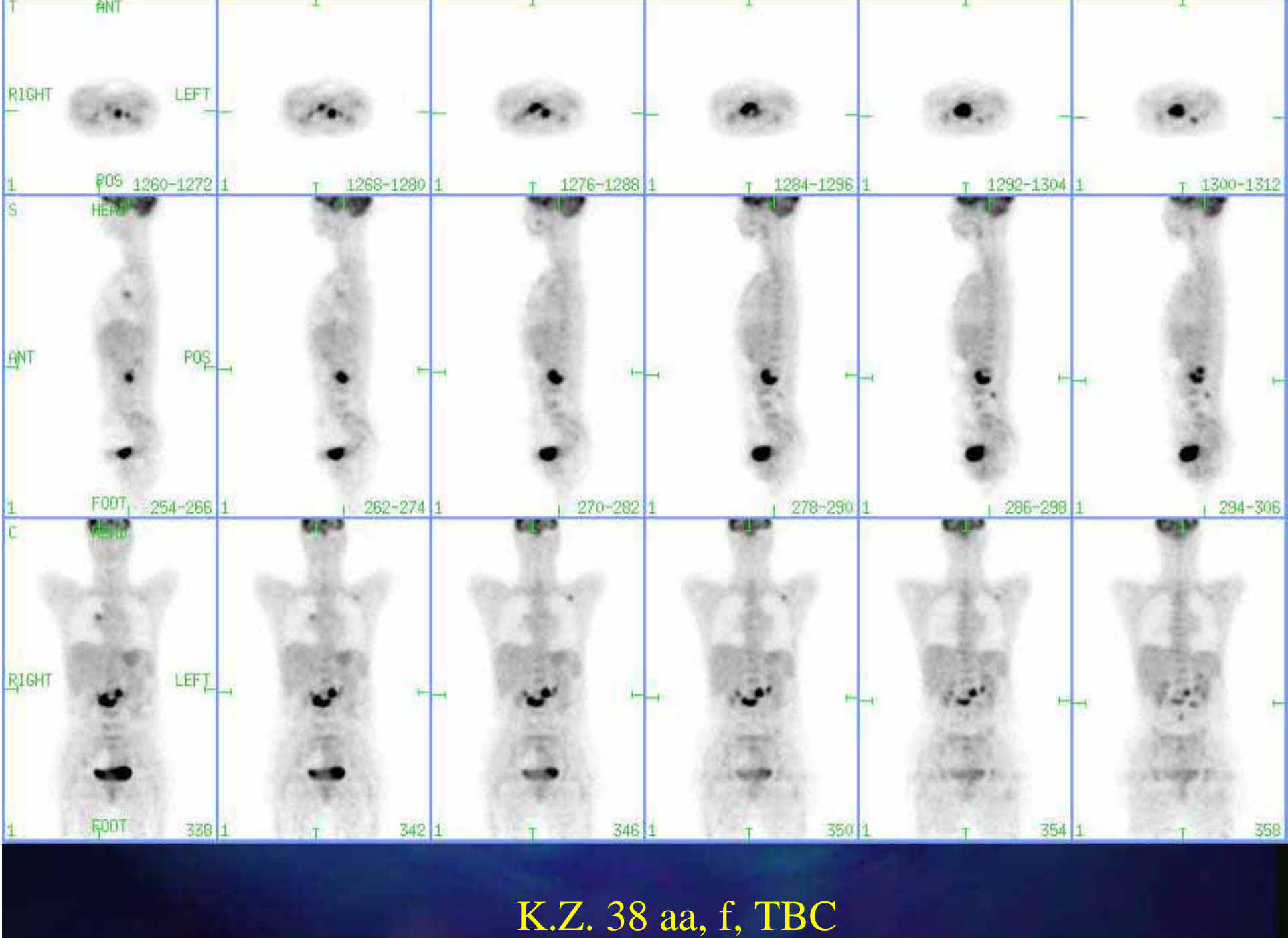
(5062 pazienti)



Sistemi per Tomografia ad Emissione di Positroni



	PET multi-ring	PET full-ring	PET dual-head
Cristalli	BGO	Nal(TI)	Nal(TI)
Dimensioni	4,0 x 8,1 x 30 mm	500 x 300 x 25 mm	508 x 39,1 x 15,9 mm
	672 per anello		
	18 anelli		
Campo di vista (FOV)	55,0 x 15,2 cm	56 x 25.6 cm	50,8 x 38,1 cm



Analisi costo-beneficio

Tabella 3: Impatto economico, calcolato sulla base dei costi delle procedure chirurgiche ottenute dalle tariffe di rimborso del Sistema Sanitario degli Stati Uniti e stabilendo un costo medio per un esame PET di \$ 1.800.

	ca polmone "NSC"	ca colon- retto	melanoma	ca testa e collo
N° casi	72	68	45	22
Costo procedure evitate (\$)	280.000	300.000	169.000	84.000
Costo PET (\$)	130.000	122.000	81.000	40.000
Rapporto risparmio/costi	2.15	2.45	2.20	2.1

P.E. Walk (1996) modificata